

Imagerie Sismique de la Terre Profonde

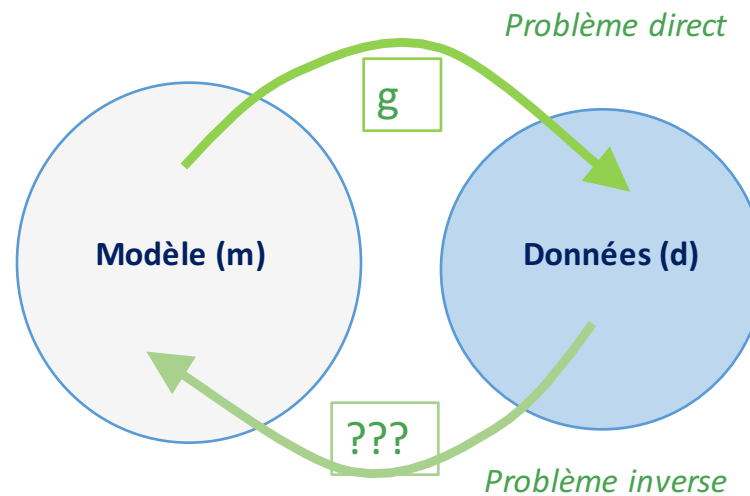
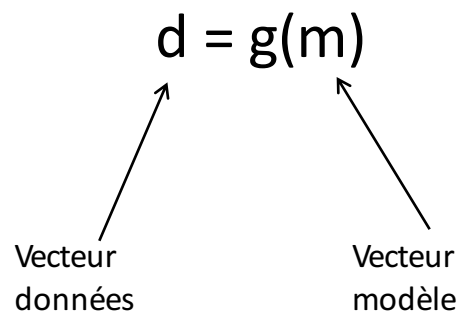
2- Tomographie des temps de parcours télésismiques ("Travel time tomography")

Barbara Romanowicz
*Chaire de Physique de l'Intérieur de la Terre
Collège de France, Paris*

5 Novembre 2019

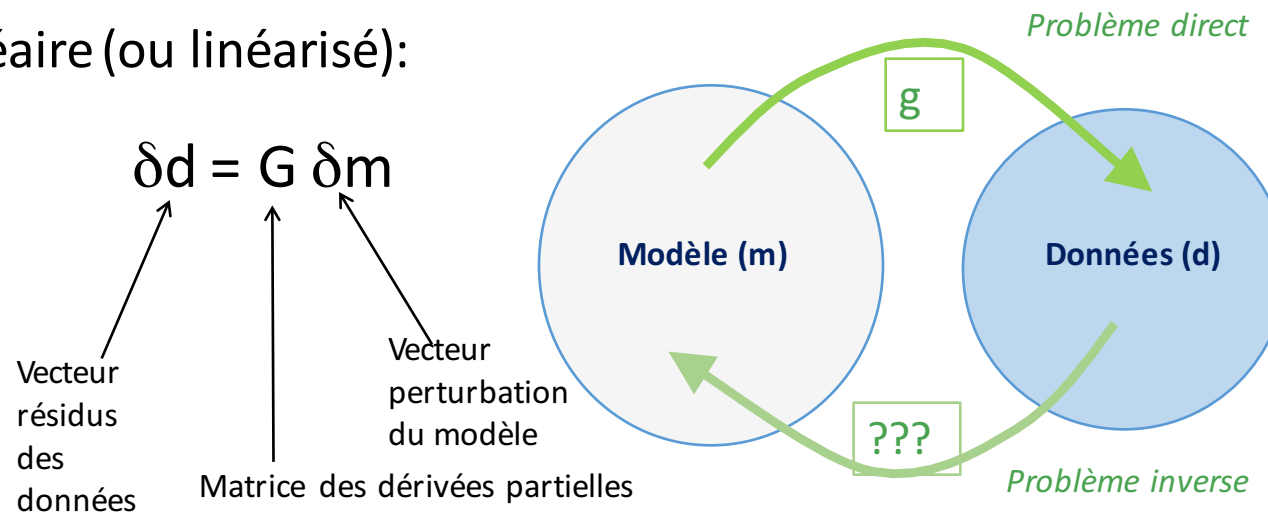
Problème *direct* / Problème *inverse*

- Données (observations) en temps et ou en espace: -> vecteur données (**d**)
- Paramètres physiques du modèle: -> vecteur modèle (**m**)



Problème *direct* / Problème *inverse*

- Données (observations) en temps et ou en espace: -> vecteur données (**d**)
- Paramètres physiques du modèle: -> vecteur modèle (**m**)
- Cas linéaire (ou linéarisé):



Problème *direct* / Problème *inverse*

- Cas linéaire (ou linéarisé):
- `Données (observations) en temps et ou en espace: -> vecteur données ($\delta\mathbf{d}$)
- Paramètres physiques du modèle: -> vecteur modèle ($\delta\mathbf{m}$)

$$\delta\mathbf{d} = \mathbf{G} \delta\mathbf{m}$$

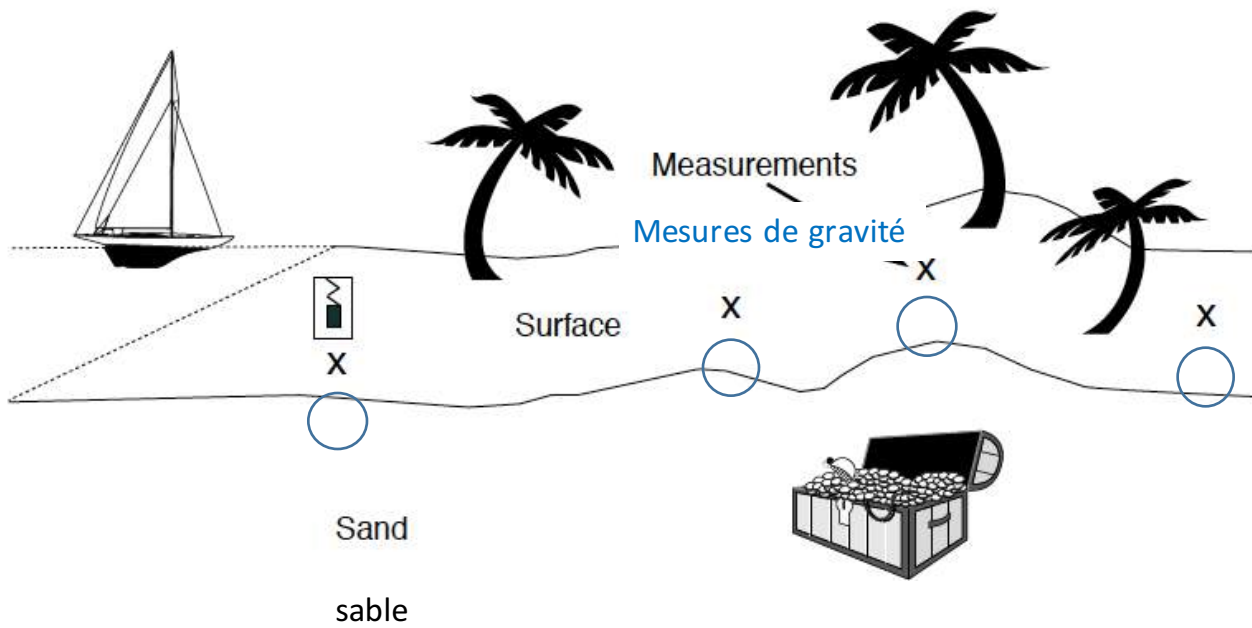
Solution par “moindres carrés”:

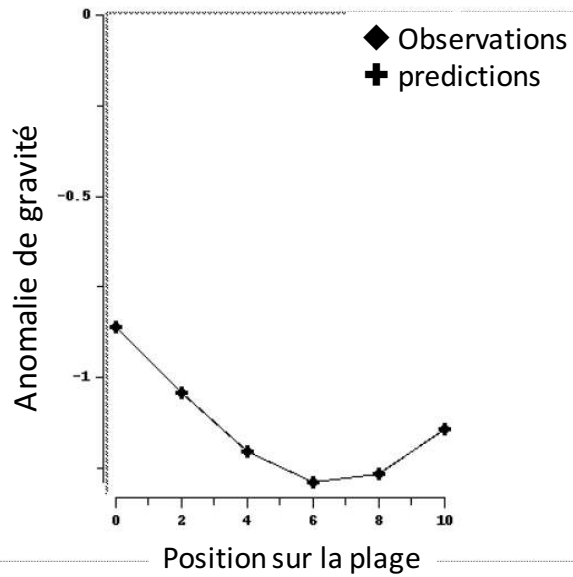
$$\mathbf{G}^T \delta\mathbf{d} = \mathbf{G}^T \mathbf{G} \delta\mathbf{m}$$

mais $\mathbf{G}^T \mathbf{G}$ N'est pas inversible en général

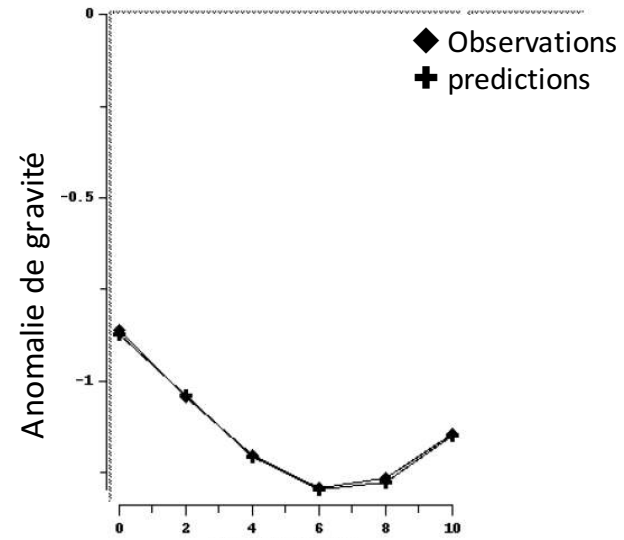
$$\delta\mathbf{m}_{\text{est}} = (\mathbf{G}^T \mathbf{G})^{-1} \mathbf{G}^T \delta\mathbf{d} \Rightarrow \text{Solution non unique}$$

Exemple du trésor enterré sur la plage

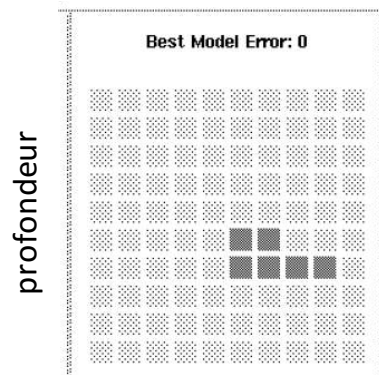




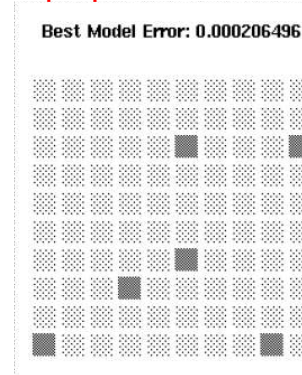
Le vrai modèle



Modèle non raisonnable mais qui explique bien les données



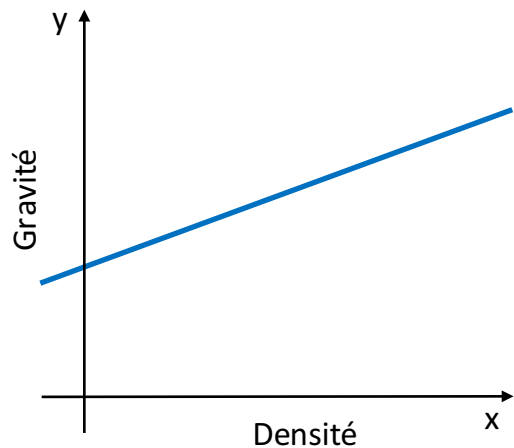
Modèles



Exemples de problèmes directs

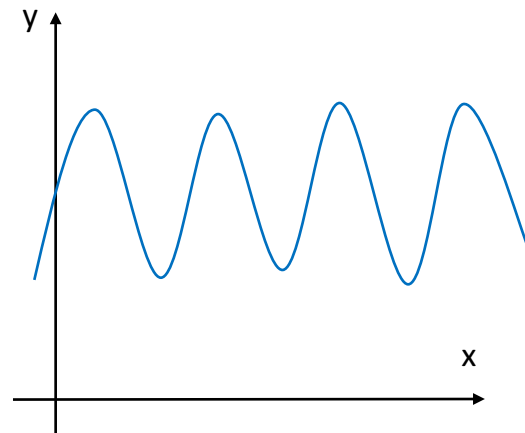
Linéaire

- $y(x) = m_1 x + m_2$
- e.g. prédire le champ de gravité étant donné la densité d'un objet de localisation et taille donnée



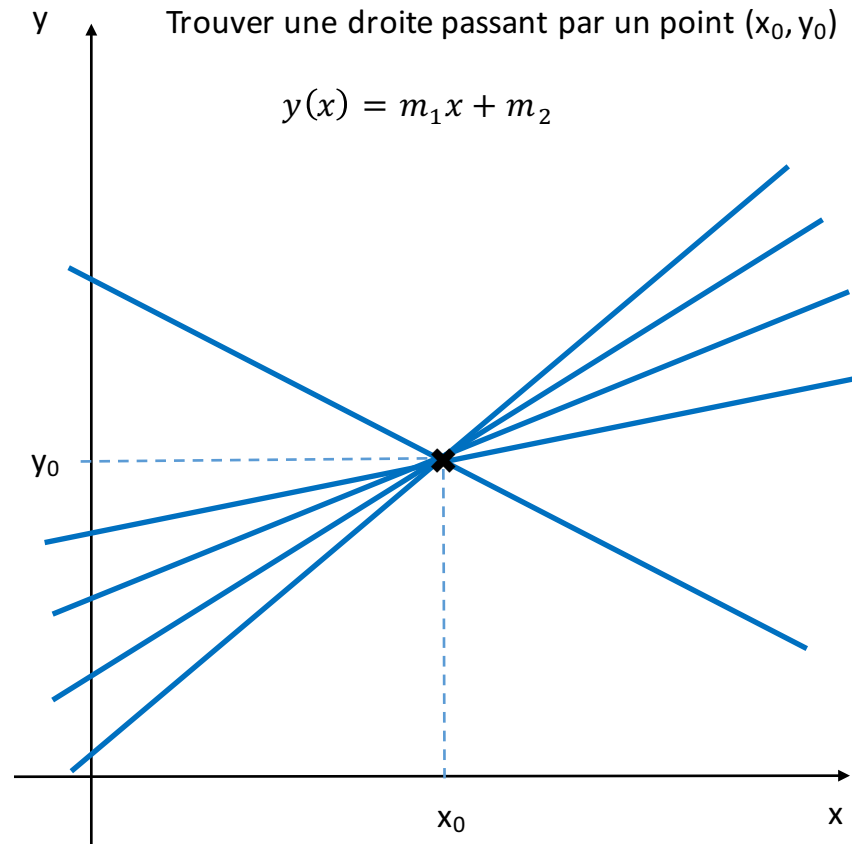
Non-linéaire

- $y(x) = \sin(xm_1) + m_1 m_2$
- e.g. prédire la forme d'onde étant donné un modèle 3D particulier de la structure de la Terre



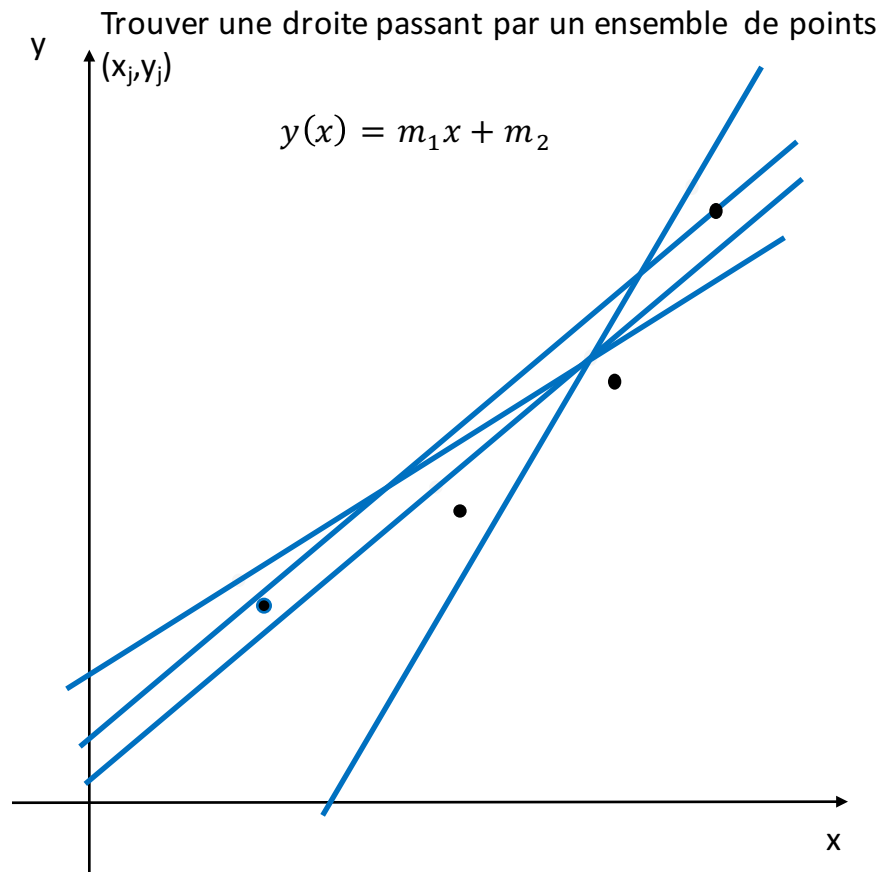
Problème inverse sous-déterminé

- Avec une seule donnée (un point sur la droite), on ne peut pas déterminer de façon unique les 2 paramètres de la droite
- Infinité de solutions pour m_1 and m_2 !



Problème inverse sur-déterminé

- Avec >2 points, la ligne droite ne passe pas forcément par tous les points.
- Laquelle choisir?
- Quelle est la meilleure solution...?



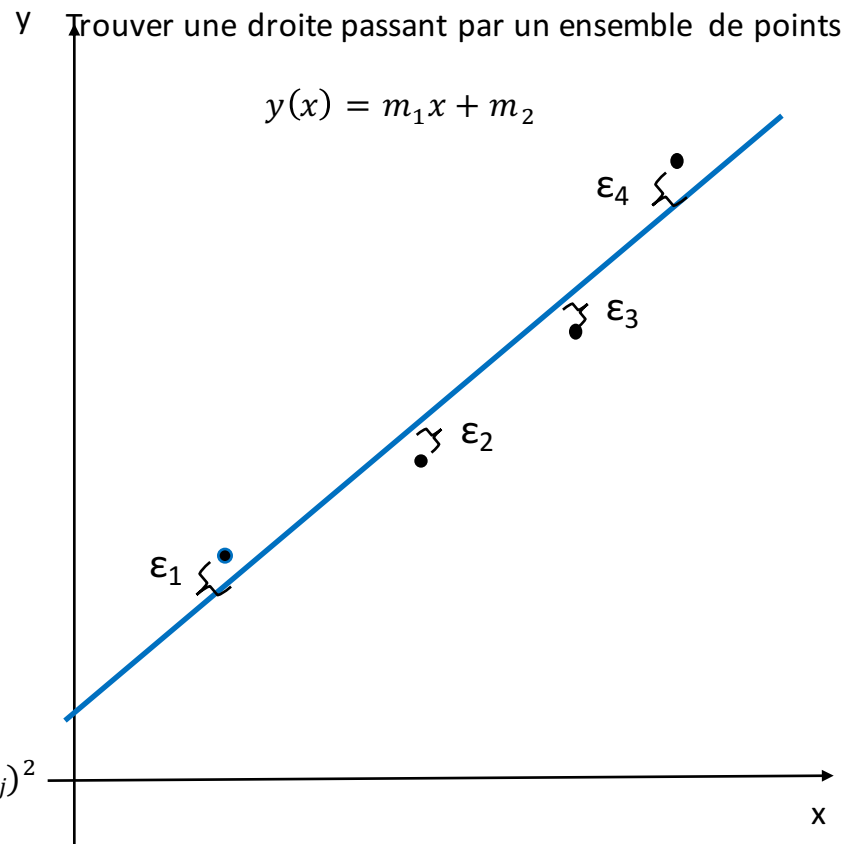
La fonction coût

- On introduit une fonction coût φ dont la valeur est minimale lorsque la solution (la droite choisie) explique les données de façon optimale

- => Notion de distance des points de mesure par rapport à la solution: ε_j

- => par exemple on minimise la somme des distances au carré:

- $$\varphi = \sum_j \varepsilon_j^2 = \sum_j (d_j - g(m)_j)^2$$



Choix de fonctions coût

- L^1

- Somme des valeurs absolues des résidus
- Atténue l'effet des données erronées (*outliers*)

$$\varphi(m) = \sum_{j=1}^{N_d} |d_j - g_j(m)|$$

- L^2

- Somme des carrés des résidus
- Tend à favoriser les "outliers"
- "Moindres-carrés"

$$\varphi(m) = \sum_{j=1}^{N_d} (d_j - g_j(m))^2$$

- L^∞

- Minimiser le résidu le plus grand
- Solution en général ni très mauvaise ni très bonne
- "Minimax"

$$\varphi(m) = \max |d_j - g_j(m)|$$

Données: temps de parcours télésismiques des ondes P
Théorie des rais

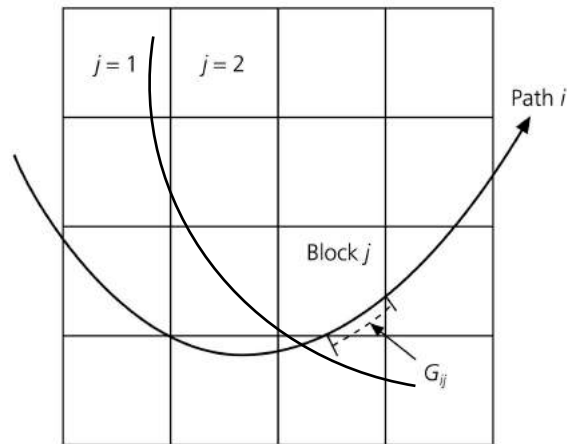
$$\delta d_i = \sum_{j=1}^M G_{ij} \delta m_j \quad i = 1, N$$

$\delta \vec{d}$ = Vecteur des données = perturbations δT_i
 $\delta \vec{m}$ = vecteur du modèle = perturbations en vitesse $\delta v_j/v_j$

$$G_{ij} = -\frac{l_{ij}}{v_0^j}$$

$$\delta \vec{d} = G \delta \vec{m}$$

"Solution par moindres carrés"



$$\delta \hat{m} = (G^T G)^{-1} G^T \delta d$$

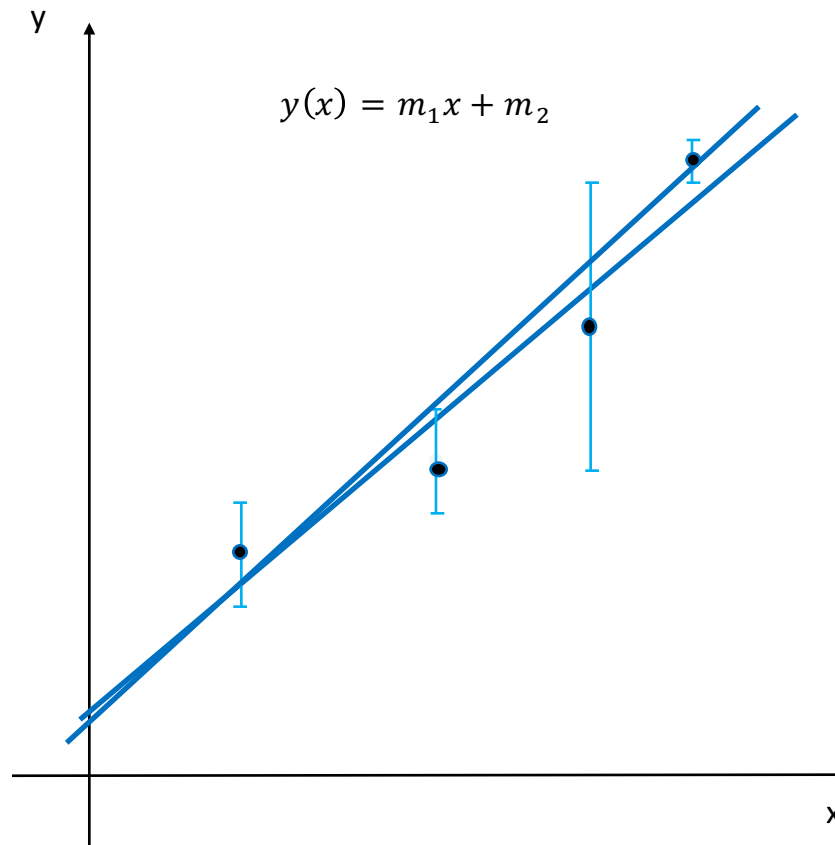
Equivalent à minimiser la
fonction coût (L^2):

$$\varphi(m) = \sum_{j=1}^{N_d} (d_j - g_j(m))^2$$

Résidus (au carré)

Erreurs dans les données

- Si l'erreur de mesure est plus grande sur un des points que sur d'autres, la solution ne doit pas nécessairement passer près de ce point
- => la fonction coût doit en tenir compte

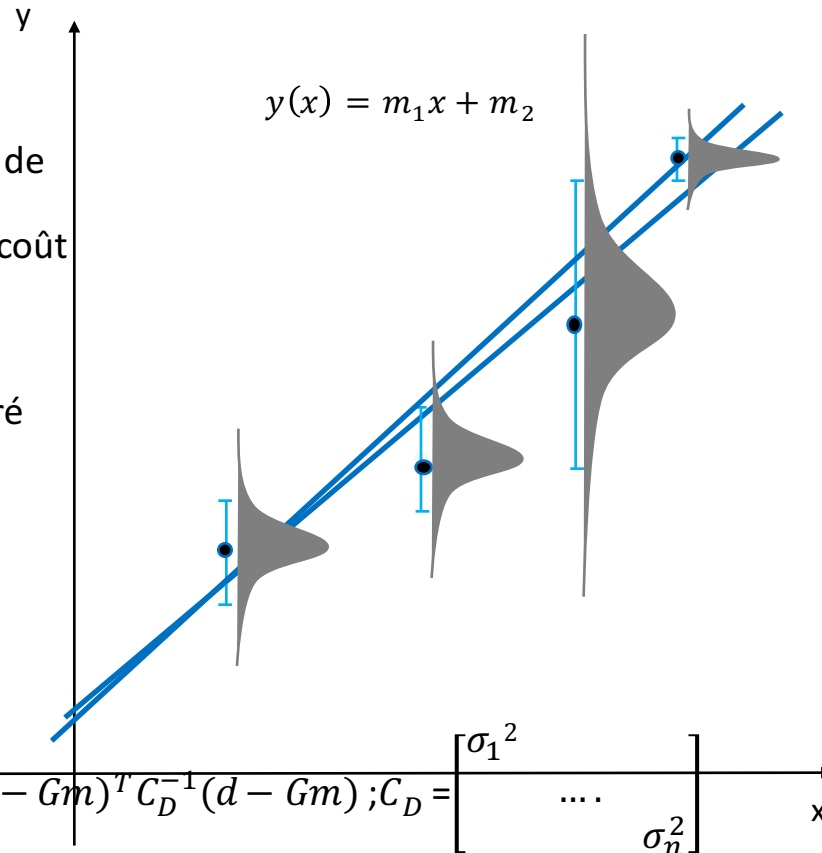


Erreurs dans les données

- Si les erreurs dans les données sont distribuées de façon "gaussienne", avec variance σ_j^2 , la fonction coût est L^2
- Chaque résidu est pondéré par la variance:

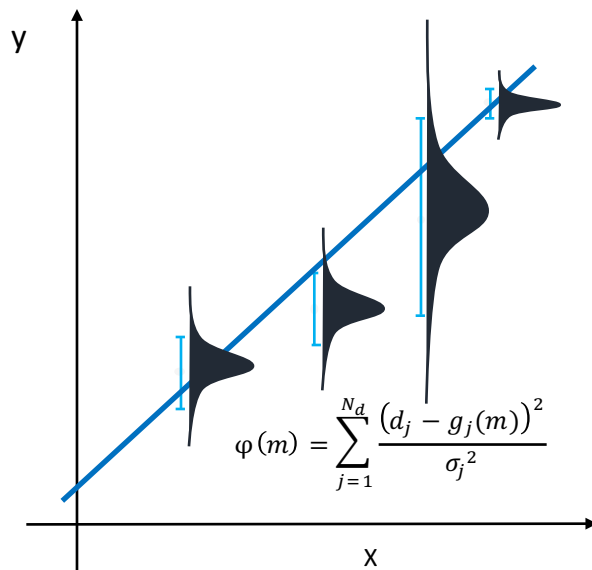
$$\varphi(m) = \sum_{j=1}^{N_d} \frac{(d_j - g_j(m))^2}{\sigma_j^2}$$

Notation matricielle: $\varphi = (d - Gm)^T C_D^{-1} (d - Gm)$; $C_D = \begin{bmatrix} \sigma_1^2 & & \\ & \dots & \\ & & \sigma_n^2 \end{bmatrix}$



Trouver une droite qui passe par un ensemble de points (x,y)

- Problème linéaire:
- $y_j = m_1 x_j + m_2$
- $d_j = (x_j, y_j)$



► Notation matricielle:

$$\varphi = (d - Gm)^T C_D^{-1} (d - Gm)$$

Minimiser φ par rapport à $m = (m_1, m_2)$

$$\frac{\partial \varphi}{\partial m} = 0$$

La solution est:

$$m_{est} = (G^T C_D^{-1} G)^{-1} G^T C_D^{-1} d$$

Solution par "moindres carrés" pondérée: m_{est}

Données: temps de parcours télésismiques des ondes P
Théorie des rais

$$\delta d = G \delta m$$

$\delta \vec{d}$ = Vecteur des perturbations δT_i
 $\delta \vec{m}$ = vecteur du modèle = perturbations en vitesse
 $\vec{\sigma}$ = vecteur des erreurs sur les données

$$C_D = \begin{bmatrix} \sigma_1^2 & 0 & 0 & 0 \\ 0 & \sigma_2^2 & 0 & 0 \\ 0 & 0 & \sigma_3^2 & 0 \\ 0 & 0 & 0 & \sigma_4^2 \end{bmatrix}$$

$$G_{ij} = -\frac{l_{ij}}{v_0^j} \quad C_D^{-1} \delta d = C_D^{-1} G \delta m$$

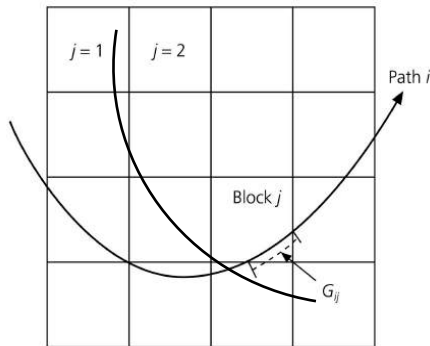
$$G^T C_D^{-1} \delta d = G^T C_D^{-1} G \delta m_{est}$$

$$\delta m_{est} = (G^T C_D^{-1} G)^{-1} G^T C_D^{-1} \delta d$$

"Solution par moindres carrés pondérés"

-> Equivalent à minimiser la fonction coût (L^2):

$$\varphi(m) = \sum_{j=1}^{N_d} \frac{(d_j - g_j(m))^2}{\sigma_j^2}$$



"Solution par moindres carrés pondérés"

$$\delta m_{est} = (G^T C_D^{-1} G)^{-1} G^T C_D^{-1} \delta d$$

Certains éléments de G_{ij} sont nuls ($I_{ij}=0$)

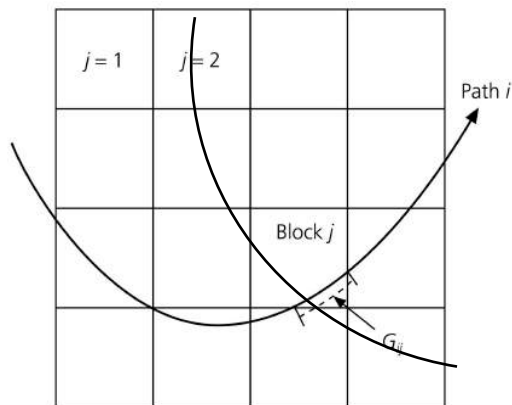
->

La vitesse dans ces blocs ne peut pas être déterminée de manière unique

-> $G^T C_D^{-1} G$, en général, est singulière:

- => **Régularisation:**

Par exemple, on ajoute un terme " ϵ^2 " à la diagonale de $G^T G$, suffisamment grand pour que la matrice $(G^T G + \epsilon^2 I)$, où I est la matrice identité $M \times M$, soit inversible.



$$\delta m_{est} = (G^T C_D^{-1} G + \epsilon^2 I)^{-1} G^T C_D^{-1} \delta d$$

solution "Par moindres carrés atténués et pondérés"

Solution par moindres carrés atténuée et pondérée

$$\delta m_{est} = (G^T C_D^{-1} G + \varepsilon^2 I)^{-1} G^T C_D^{-1} \delta d$$

$$\delta m_{est} = (G^T C_D^{-1} G + \varepsilon^2 C_M^{-1} I)^{-1} G^T C_D^{-1} \delta d$$

Pondération
des données

Régularisation
du modèle

Résidu par rapport au
modèle de référence

Perturbation du modèle

Inverse "généralisée:

$$\delta m_{est} = G^{-g} \delta d \quad \text{où:} \quad G^{-g} = (G^T C_D^{-1} G + \varepsilon^2 C_M^{-1} I)^{-1} G^T C_D^{-1}$$

$$m_{est} = \langle m \rangle + (G^T C_D^{-1} G + \varepsilon^2 C_M^{-1} I)^{-1} G^T C_D^{-1} (d - G \langle m \rangle)$$

$\langle m \rangle$ = Modèle de référence

En résumé:

- Pour obtenir des résultats robustes, il faut pondérer les données de manière adéquate pour tenir compte des erreurs et des redondances (C_D^{-1}).
- Il faut aussi spécifier les caractéristiques *a-priori* du modèle en précisant le type de régularisation (C_M^{-1})
- Ceux-ci ne sont pas en général déterminés de manière unique, et donc peuvent être “ajustés”, souvent de manière subjective
- Une fois qu’on a obtenu une solution, on doit se poser les questions suivantes:
 - Le modèle obtenu est-il fiable?
 - Les données permettent-t-elles de déterminer les paramètres choisis?

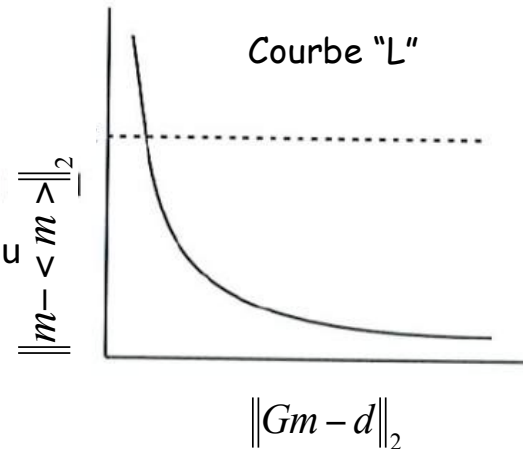
“Trade offs”: exemple de la solution par moindres carrés

- Lorsqu'on augmente le facteur de damping ε^2 , on augmente le poids de la norme (ou amplitude) du modèle que l'on souhaite contrôler

- Cela diminue l'amplitude des variations du modèle, mais cela augmente les résidus (les données sont moins bien expliquées)

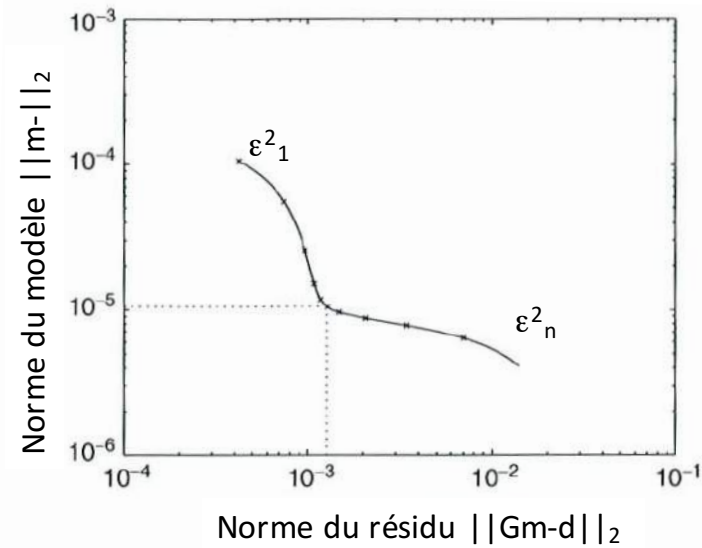
- On obtiendra un modèle qui s'écarte peu du modèle de référence

- Pour choisir ε^2 de façon optimale, il faut explorer une suite de modèles



Implémentation pratique:

- On résoud le problème inverse pour une suite de valeurs des paramètres de régularisation
- On représente le résidu en fonction de la norme (amplitude) des perturbations du modèle pour ces différents cas
- On choisit un modèle près du coude de la courbe "L"



Matrice de résolution

- Comment l'image est elle dégradée?
- Quel est le plus petit objet qu'on peut résoudre?
- Matrice de résolution R:

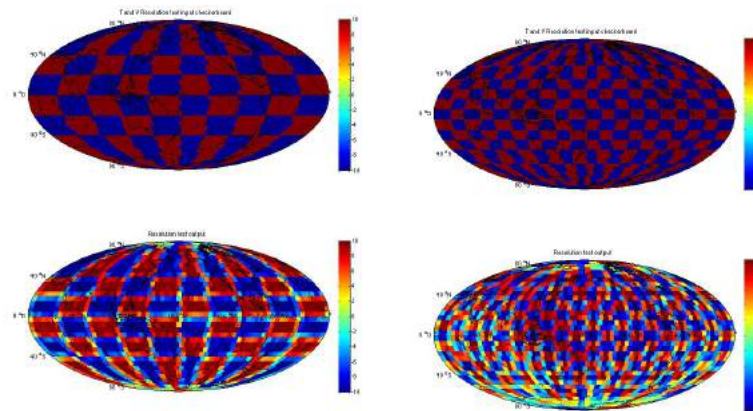
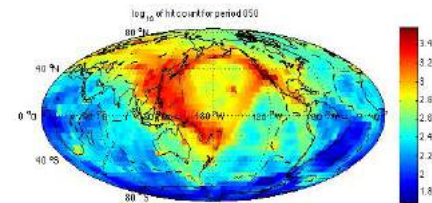
$$\hat{m} = G^{-g} d^{obs} = G^{-g} G m_{true} = R m_{true}$$

$$R = G^{-g} G$$

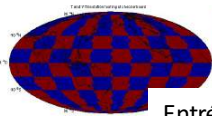
- R est une sorte de filtre spatial que l'on applique au vrai modèle test pour évaluer la dégradation du modèle estimé
 - Si R=I la résolution est parfaite
 - Les termes en dehors de la diagonale nous renseignent sur la dégradation de l'image.

Matrice de résolution

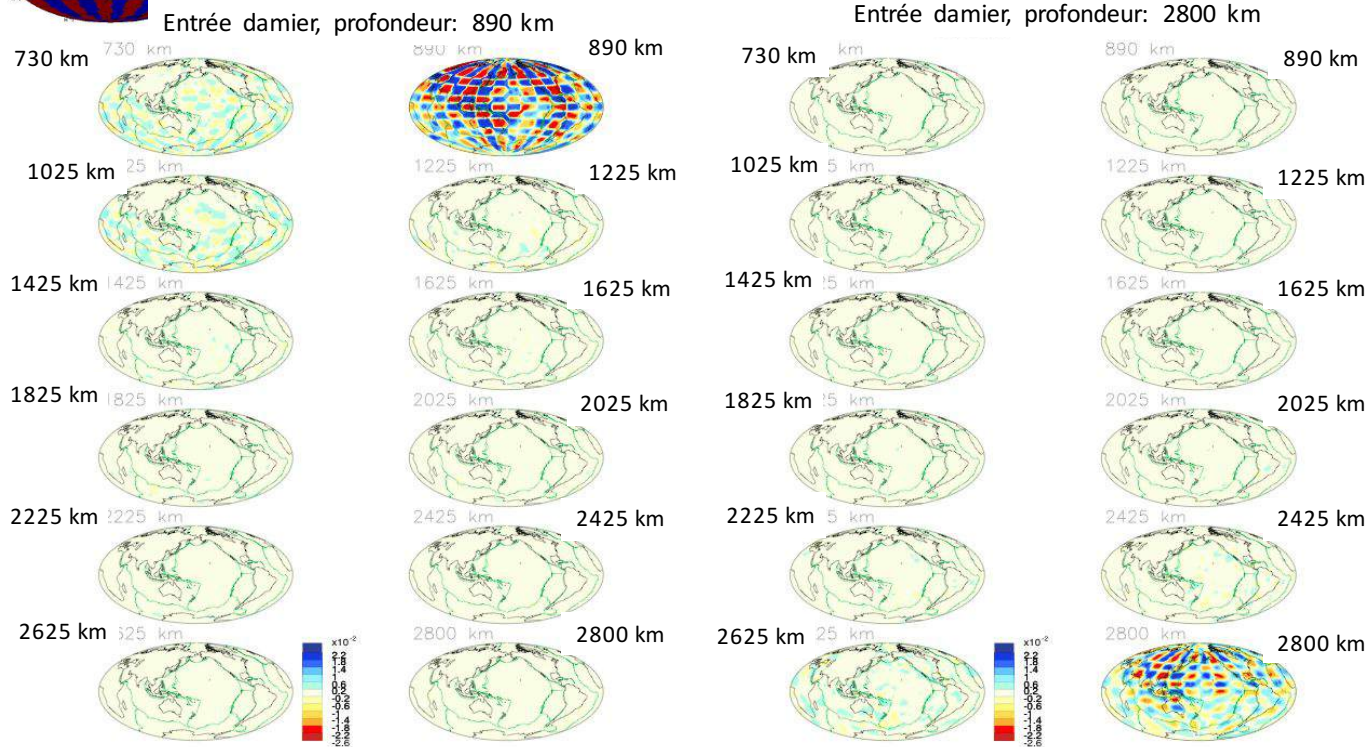
- On considère un modèle particulier, souvent de type “damier”
- On le “passe” par la matrice de résolution pour voir ce que le processus d’inversion dégrade
- Cet exercice ne permet pas de tenir compte des erreurs dans la théorie ni dans l’estimation des incertitudes sur les données



- Si le résultat est mauvais, le modèle obtenu avec les vraies données n’est pas de bonne qualité
- Si le résultat est bon, cela ne prouve pas que ce modèle est robuste



Test dit "de damier"



D'après G. Masters, CIDER 2010

$$\hat{m} = Rm_{true}$$

$$R = G^{-g}G$$

R dépend des hypothèses faites sur la théorie de propagation des ondes sismiques, et la paramétrisation choisies. Notion valable dans le cas d'un problème linéaire seulement.

Incertitude sur le modèle

- Si les données sont indépendantes, avec une variance commune σ_d^2 :
 - Etant donné que:

$$\hat{m} = Md + v$$

- On peut écrire

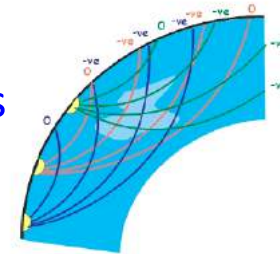
$$[\text{cov } m] = M[\text{cov } d]M^T$$

- Pour la solution par moindres carrés:

$$[\text{cov } m] = [[G^T G]^{-1} G^T] \sigma_d^2 [[G^T G]^{-1} G^T]^T = \sigma_d^2 [G^T G]^{-1}$$

Ingrédients essentiels pour la tomographie sismique globale ou régionale

- Quelles données ? -> illumination des structures
 - Ondes de volume/ondes de surface
 - Temps de parcours/formes d'onde
- Théorie de propagation des ondes /méthode d'inversion
 - Théorie des rais/effets de fréquence finie
 - Calcul plus ou moins précis du champ des ondes sismiques
 - Méthode d'optimisation (linéaire or quadratique) ou....Monte Carlo
- Paramétrisation du modèle
 - Physique: hypothèses (anisotropie?..., atténuation?...)
 - Géométrique: paramétrisation locale ou globale?..



Paramétrisation sur la sphère

$$f(\theta, \varphi) = \sum_{i=1}^{i=M} c_i \cdot g_i(\theta, \varphi)$$

θ = colatitude = 90°-latitude
 φ = longitude

- Choix des fonctions de base g_i
 - Blocs (fonctions “locales”)

$$g_i(\theta, \varphi) = \begin{cases} 1 & \text{si } (\theta, \varphi) \text{ à l'intérieur} \\ 0 & \text{si } (\theta, \varphi) \text{ à l'extérieur} \end{cases} \text{ du bloc } i$$

Paramétrisation globale sur la sphère en harmoniques sphériques

$$f(\theta, \varphi) = \sum_{i=1}^{i=M} c_i \cdot g_i(\theta, \varphi)$$

θ = colatitude = 90°-latitude
 φ = longitude

- *Harmoniques sphériques*: base complète orthogonale de fonctions régulières sur la sphère

$$g_i(\theta, \varphi) = Y_l^m(\theta, \varphi) = P_l^m(\theta) \begin{matrix} \cos m\varphi \\ \sin m\varphi \end{matrix}$$

Fonctions de Legendre
 Polynômes en $\cos(\theta)$

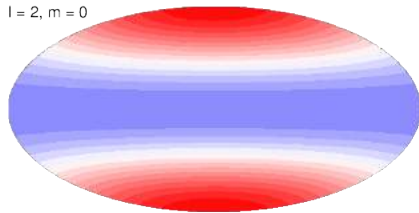
$$f(\theta, \varphi) = \sum_l \sum_m (c_l^m \cos m\varphi + s_l^m \sin m\varphi) P_l^m(\theta)$$

Ω = sphère de rayon unité

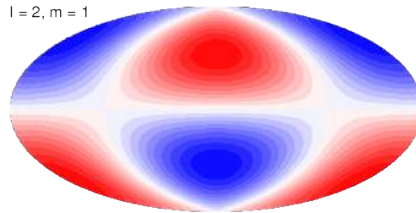
$$\begin{matrix} c_l^m \\ s_l^m \end{matrix} = \iint_{\Omega} f(\theta, \varphi) Y_l^{m*}(\theta, \varphi) d\Omega$$

Harmoniques sphériques de degré 2

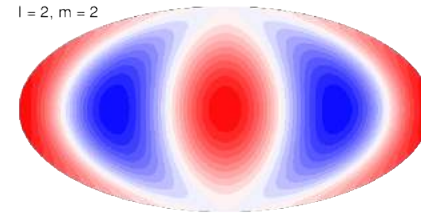
$l=2, m=0$



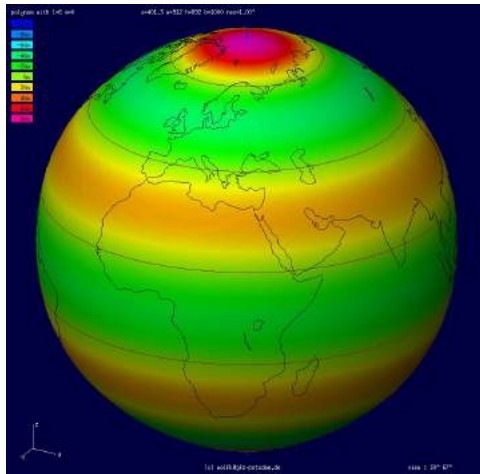
$l=2, m=1$



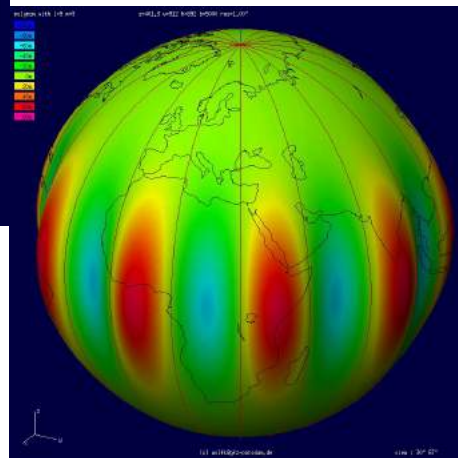
$l=2, m=2$



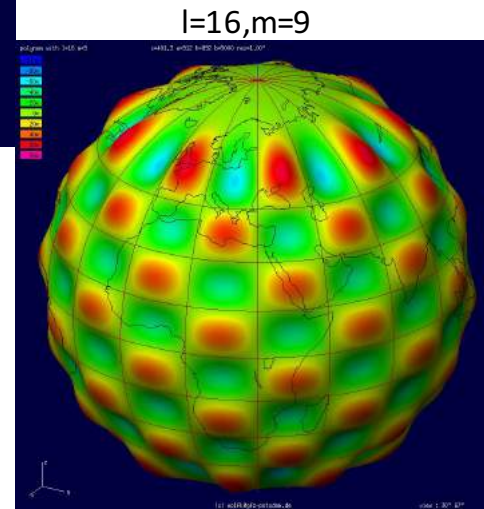
Exemples d'harmoniques sphériques



$l=6, m=0$



$l=9, m=9$



$l=16, m=9$

Les premiers modèles tomographiques de l'intérieur de la terre

- Données: anomalies de temps de parcours des ondes P
- *Global*: Dziewonski, Hager and O'Connell, 1977
- *Régional*: Aki, Christofferson and Husebye, 1977

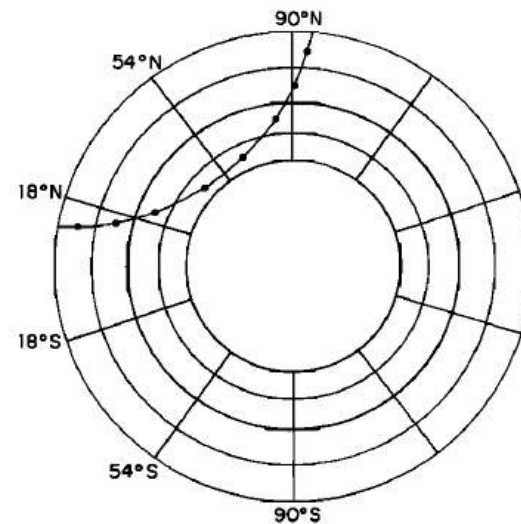
-> Temps de parcours pour 50,000 séismes enregistrés sur bande bande magnétique (ISC)

-> 2,000,000 temps de parcours d'ondes P dans 1400 stations distribuées globalement

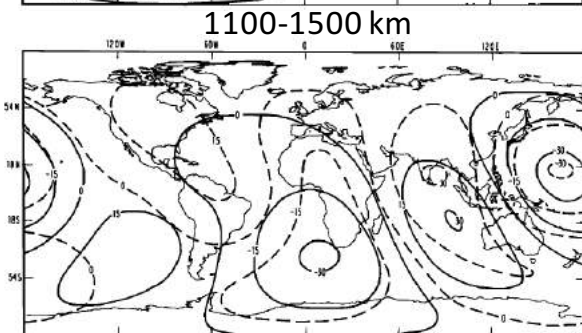
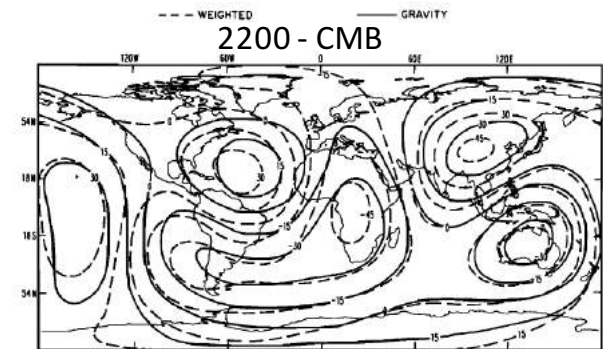
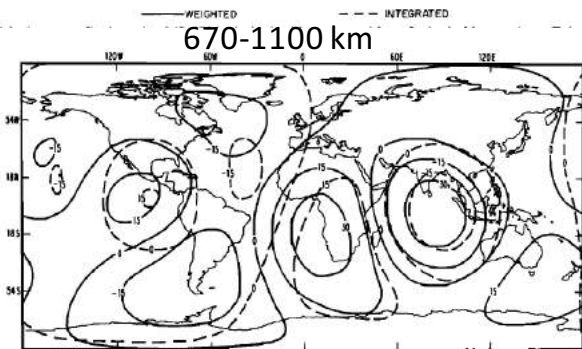
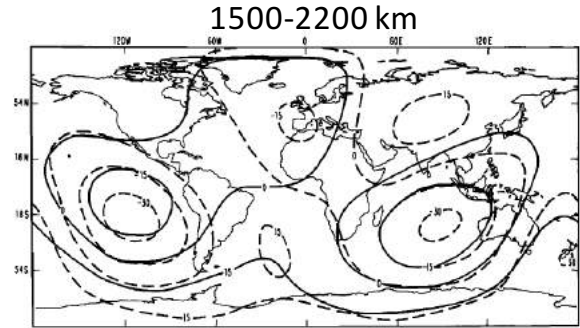
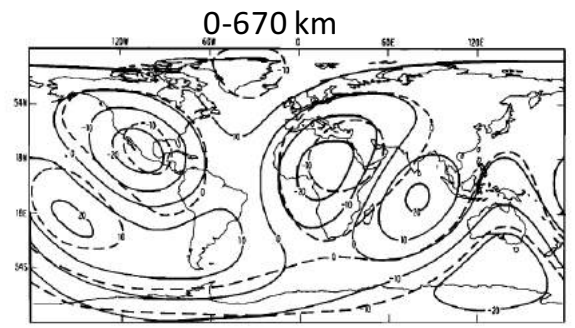
-> Hypothèse: erreurs aléatoires

-> $27^\circ < \Delta < 105^\circ$ écarts $\Delta t < 5s$ par rapport aux tables de Jeffreys-Bullen

-> Il reste 728,072 données de Δt
- Correction d'ellipticité
- Correction d'anomalies de station



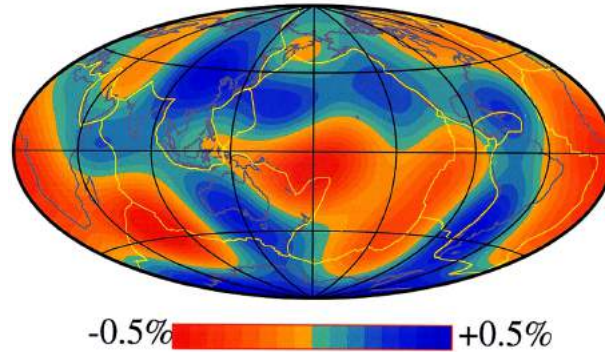
Dziewonski, Hager and O'Connell (1977)



Dziewonski, Hager and O'Connell (1977)

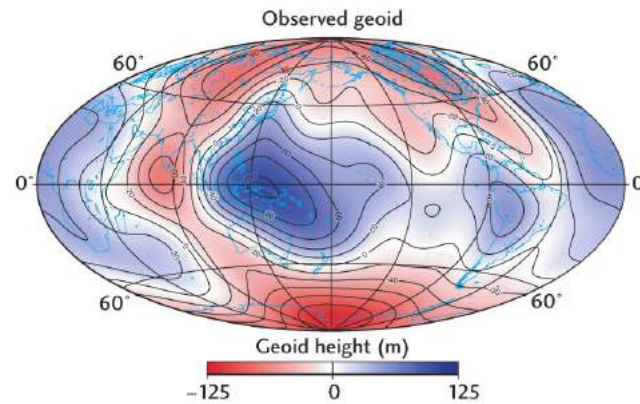
Modèle L02.56 (Vp)
Profondeur = 2500 km

Dziewonski, 1984

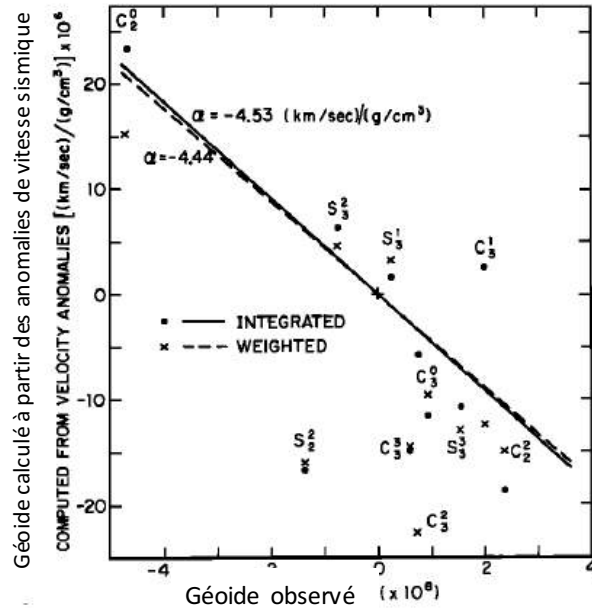


Anomalies relatives dV_p/V_p par rapport au modèle moyen à 2500 km de profondeur

Anomalies du géoïde
(gravité)



Anti-corrélation des anomalies de gravité (géoïde) et des anomalies de vitesses sismiques dans les derniers 1800 km du manteau inférieur



Géοide calculé à partir des anomalies de vitesses sismique

Coefficients des harmoniques sphériques de degré 2 et 3

Coef.de corrélation ~ - 0.66

$$\Delta v_i(\theta, \phi) = \alpha \Delta \rho_i(\theta, \phi)$$

Alpha négatif:

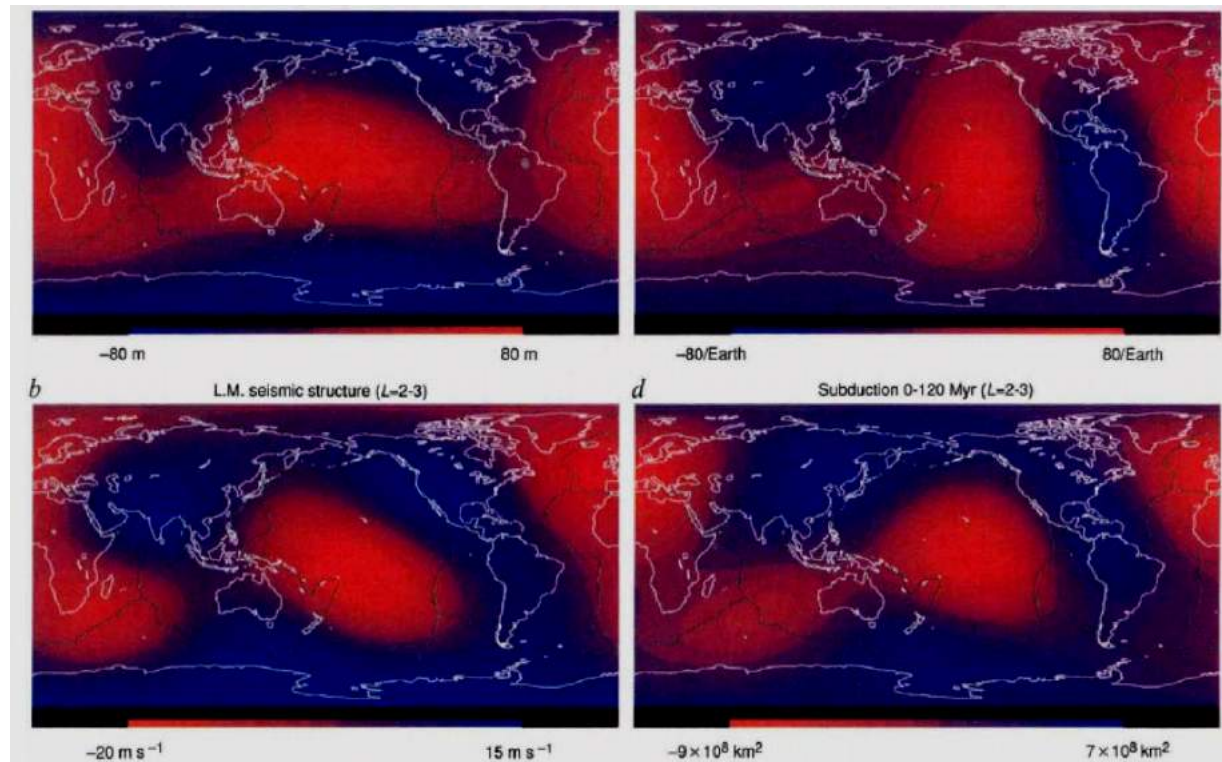
- ☞ Du aux variations latérales de composition
- ☞ Présence d'éclogite dans les régions de vitesse plus rapide (provenant de la croûte basaltique)
 - ☞ -> Subduction
- ☞ Ou bien interpretation dynamique: effet de la convection – dû à la déformation de la surface et de la CMB dans un milieu visqueux

Dziewonski, Hager and O'Connell (1977)

Corrélations dans les structures de degré 2 & 3

Géοide

Points chauds



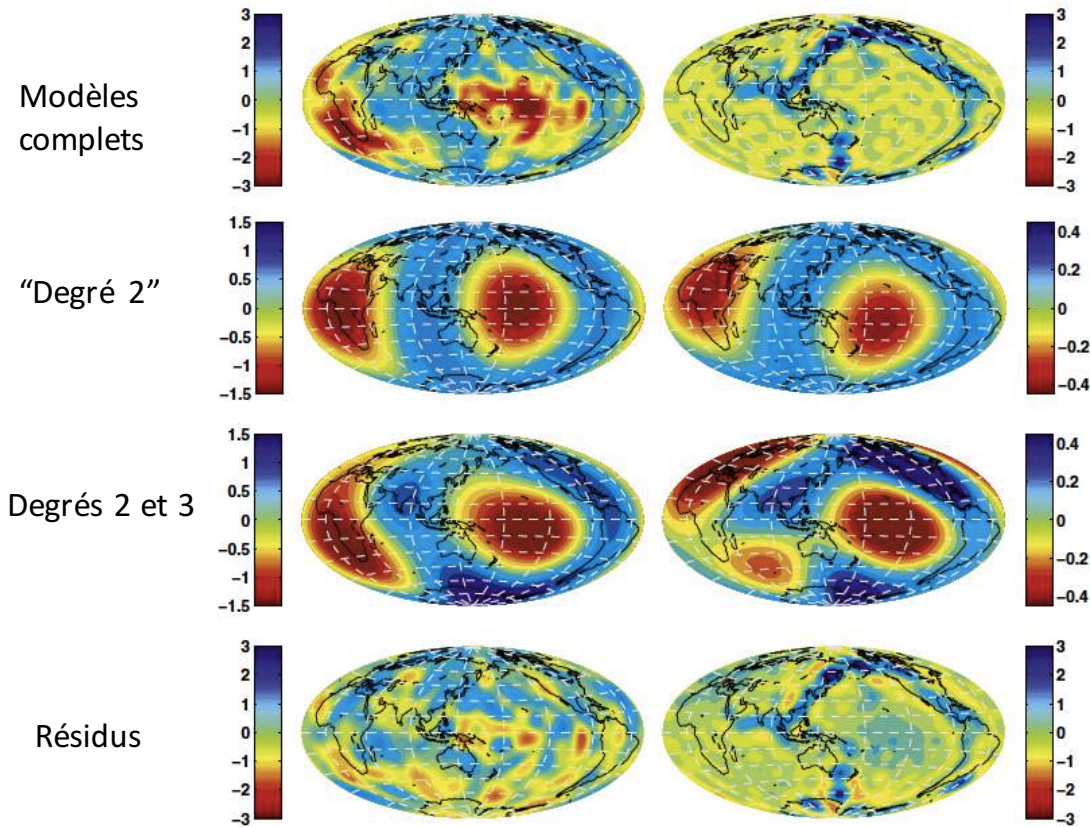
Structure sismique
à 2800 km de profondeur

Subduction 0 – 120 Ma

Richards & Engerbreetsen, 1992

Modèle tomographique Vs
S362ANI (*Kustowski et al., 2008*)
Profondeur = 2800 km

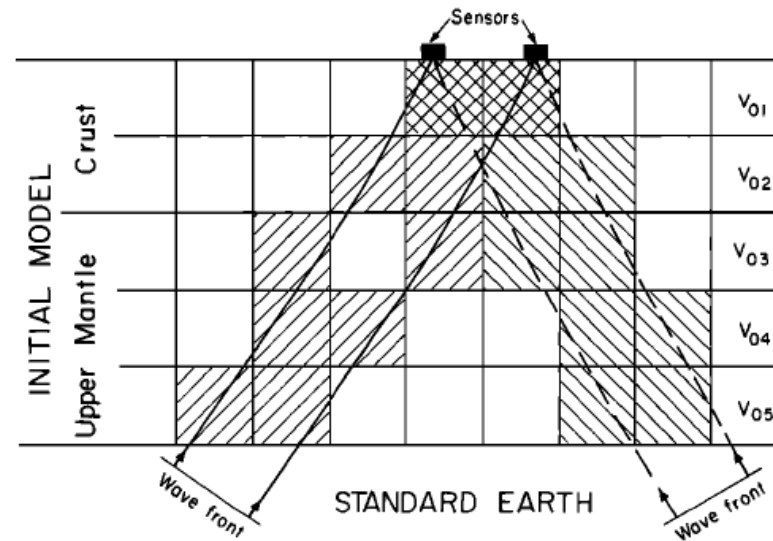
Modèle de plaques intégré en profondeur
Lithgow Bertelloni and Richards, 1998



Dziewonski, Lekic & Romanowicz, 2010

Tomographie régionale par temps de parcours télésismiques:

- *ACH*



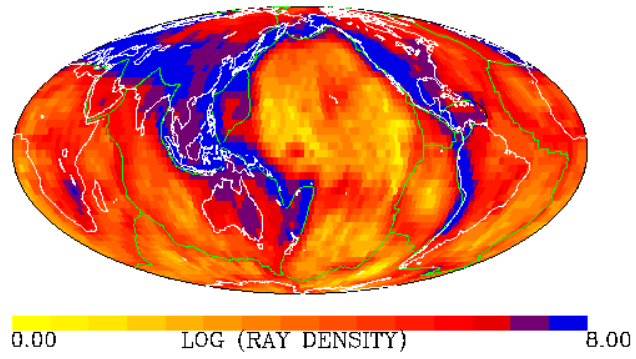
Aki, Christofferson et Husebye (1977)

Modèles globaux par tomographie des temps de parcours d'ondes P et S

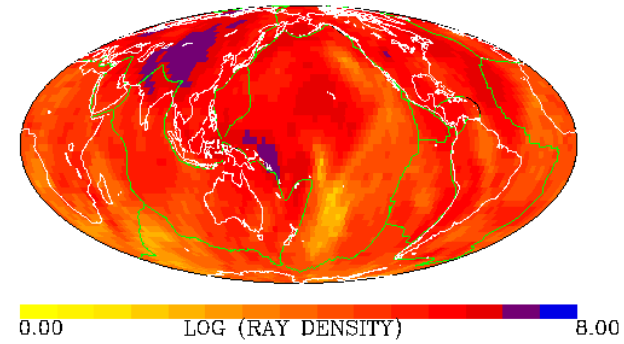
- Paramétrisation locale du modèle (blocs de vitesse constante ou splines/ondelettes)
 - Grand nombre d'inconnues (par exemple blocs de $2,5^{\circ} \times 2,5^{\circ} \times 200$ km – Grand et al., 1997; $3^{\circ} \times 3^{\circ} \times 150$ km, Karason et van der Hilst, 2000)
 - Inversion par méthodes itératives (LSQR, SIRT)
 - Paramétrisation en blocs de taille variable

Densité de rais, données ondes P bulletins ISC, télésismiques

Profondeur: 660-870 km



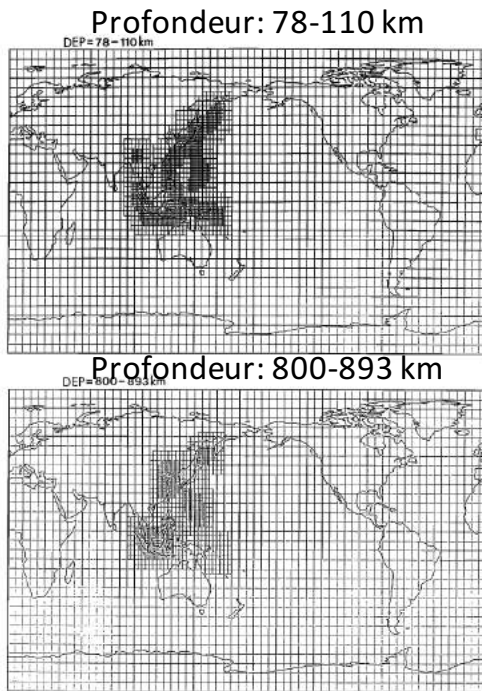
Profondeur: 2670 km - CMB



CMB= limite noyau-manteau

Courtesy of D. Vasco

Données ISC globales, étude régionale Pacifique Ouest

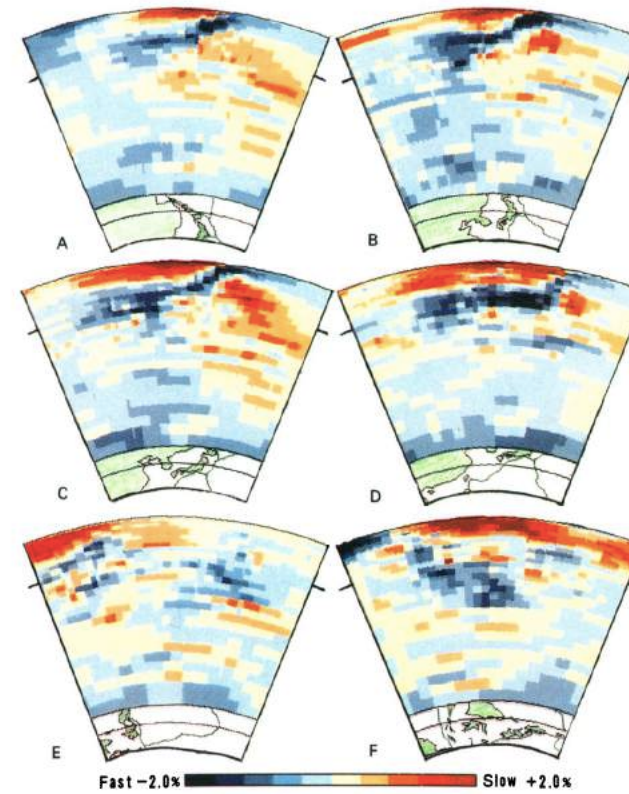


Blocs 2,5 x 2,5°

Epaisseur 30 ->334 km

Nbre de blocs total 55,735 – mémoire: 200 Mo

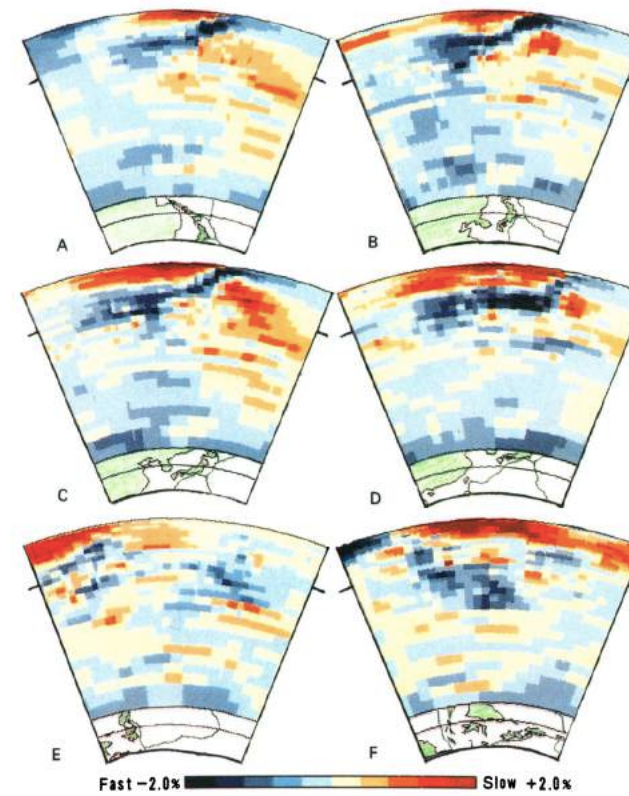
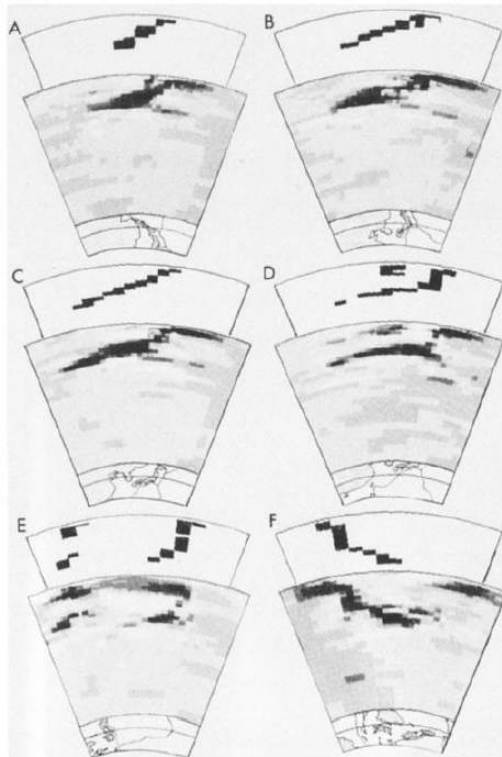
410,000 temps de parcours; inversion par méthode des gradients conjugués



Fukao et al., 1992

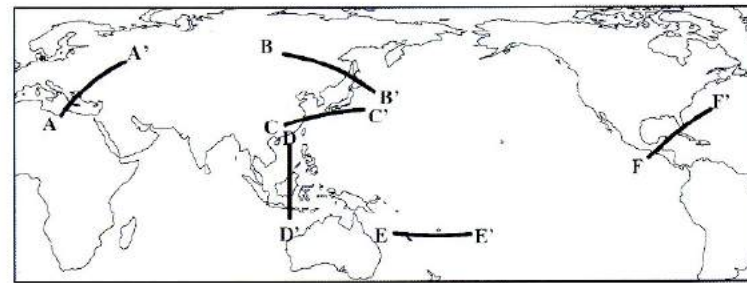
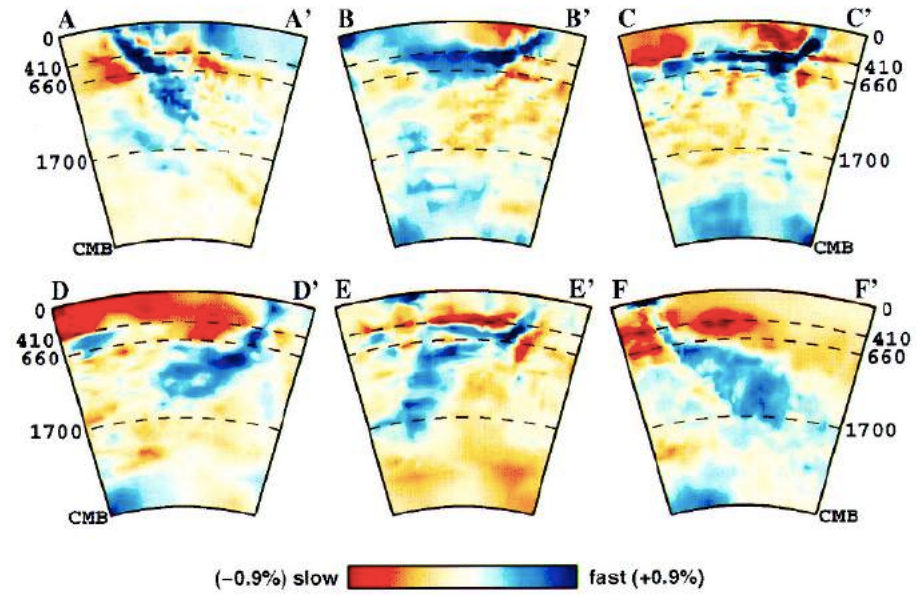
Données ISC globales, étude régionale Pacifique Ouest

Test de résolution



Conclusion: Discontinuité de 660 km: barrière partielle à la pénétration dans le manteau inférieur

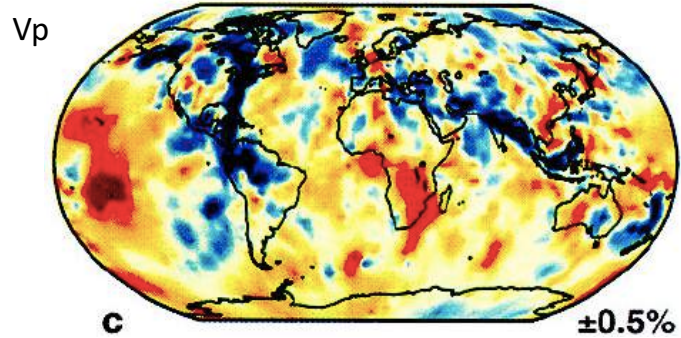
Fukao et al., 1992



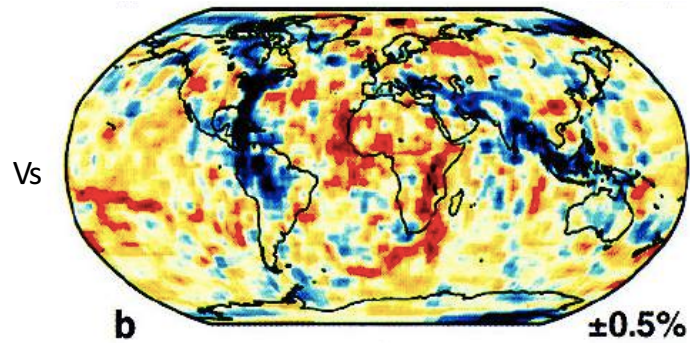
Karason and van der Hilst, 2000

Anomalies relatives de vitesses des ondes P et S

Profondeur = 1300 km



Karason and van der Hilst, 2000
(données ISC relocalisées)

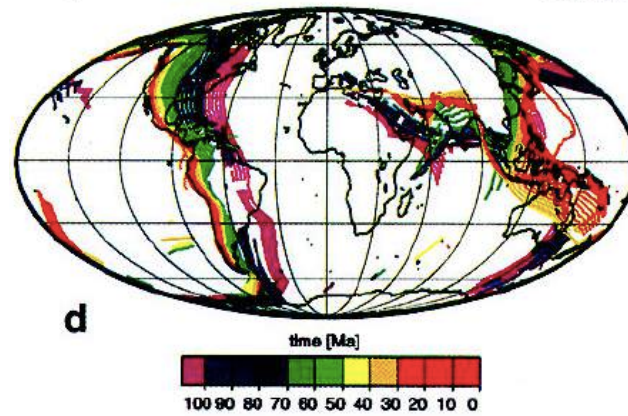


slow fast

Grand et al., 1997
(données mesurées par les auteurs)

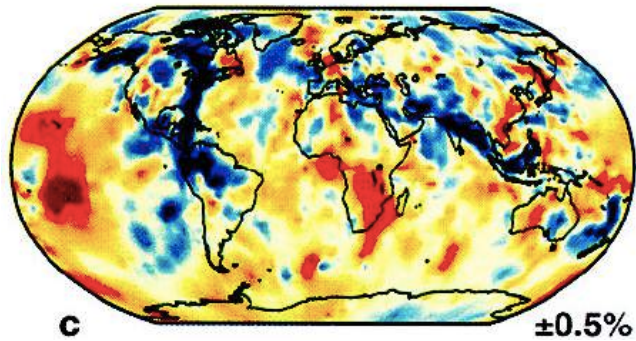
Histoire de la subduction

D'après Lothgow-Bertelloni et Richards, 1998

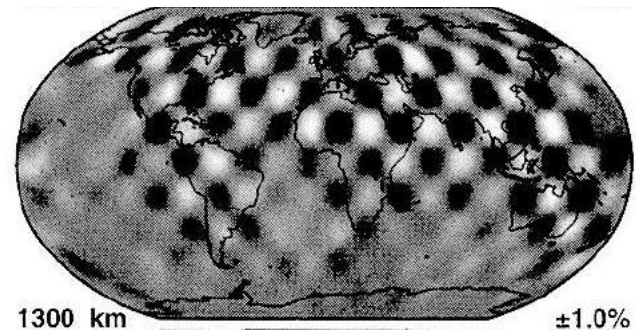
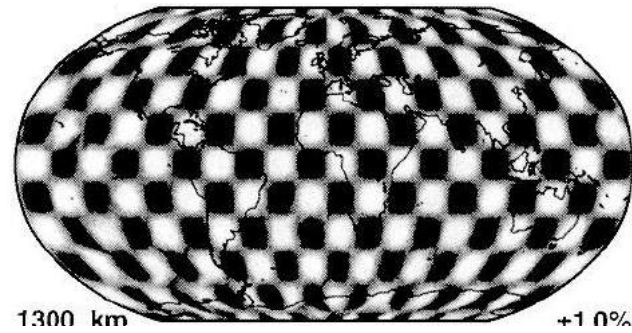


Anomalies relatives de vitesses des ondes P (dV_p/V_p)

Profondeur = 1300 km

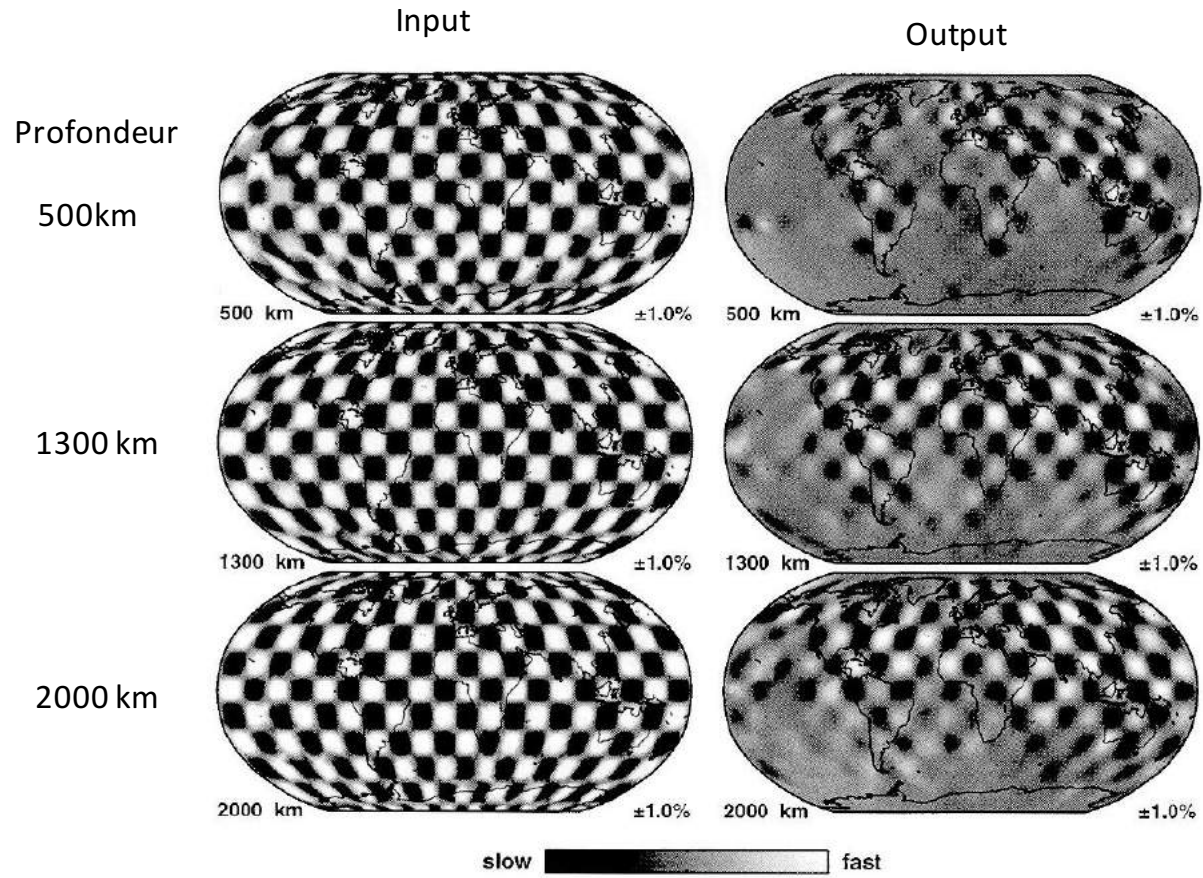


Karason and van der Hilst, 2000

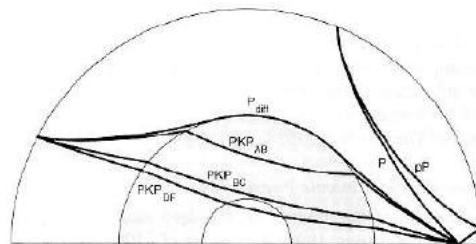
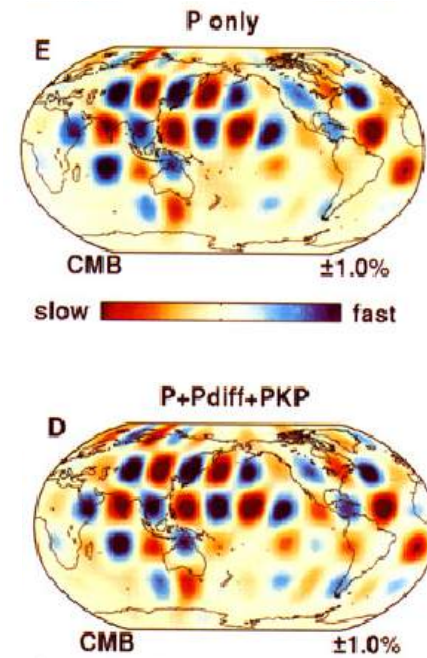
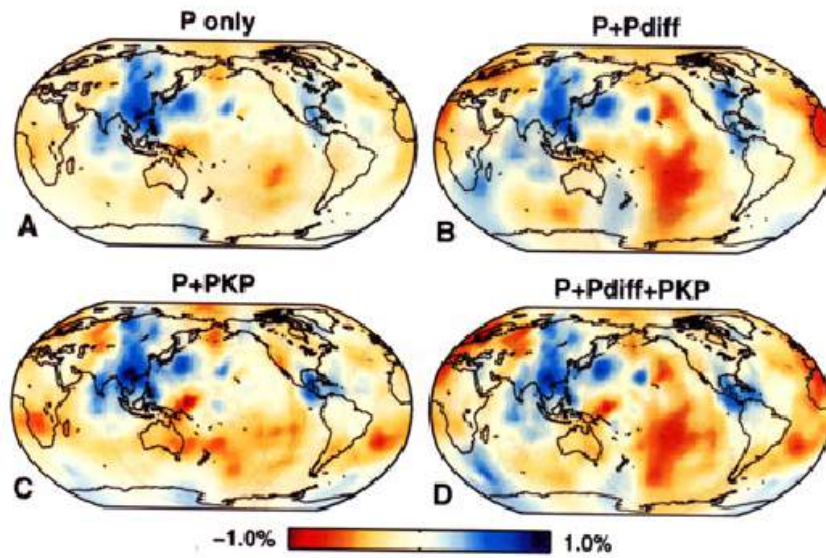


slow  fast

Analyse de résolution du modèle Vp de Karason et van der Hilst, 2000

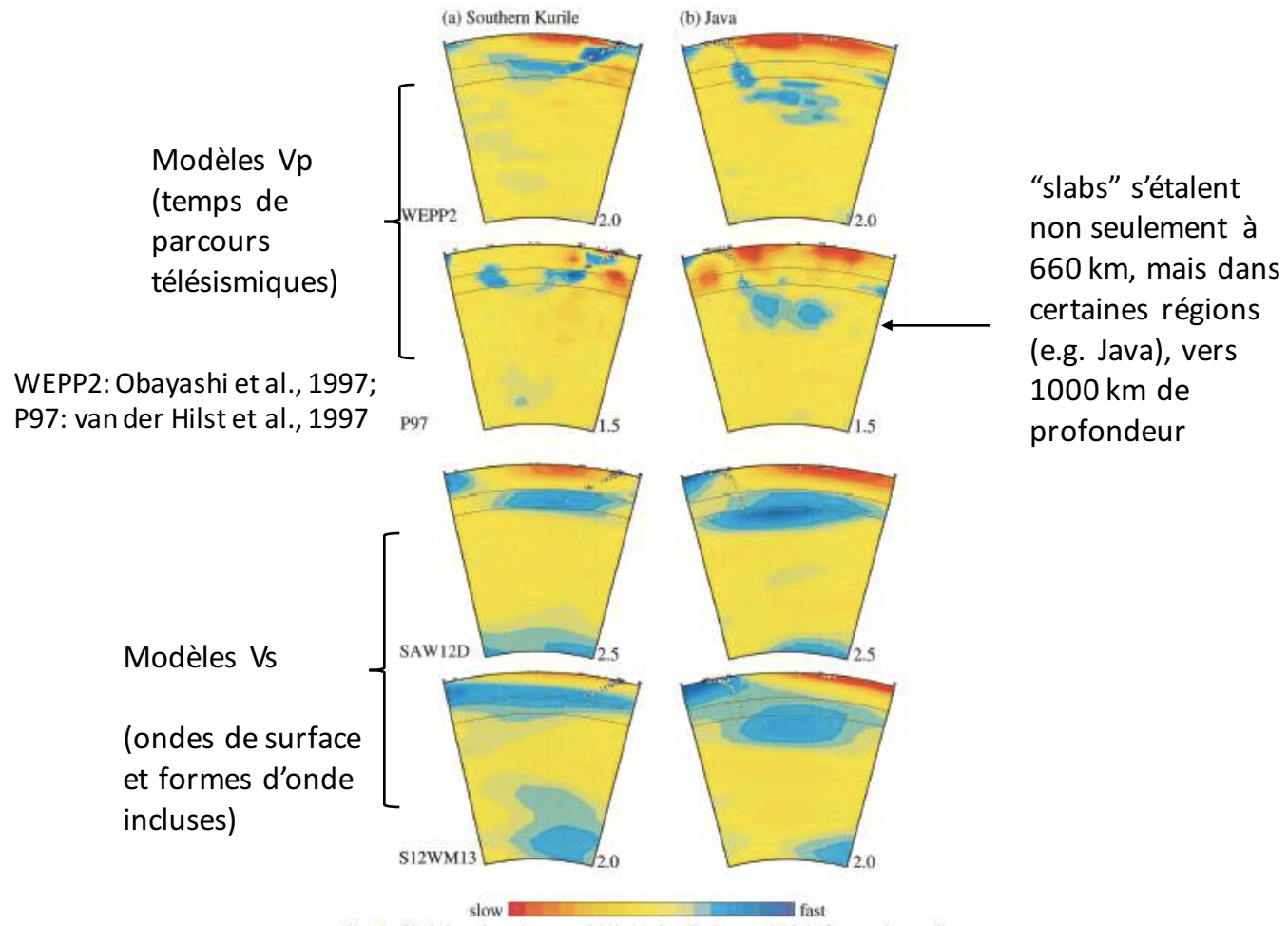


Karason & van der Hilst, 2000



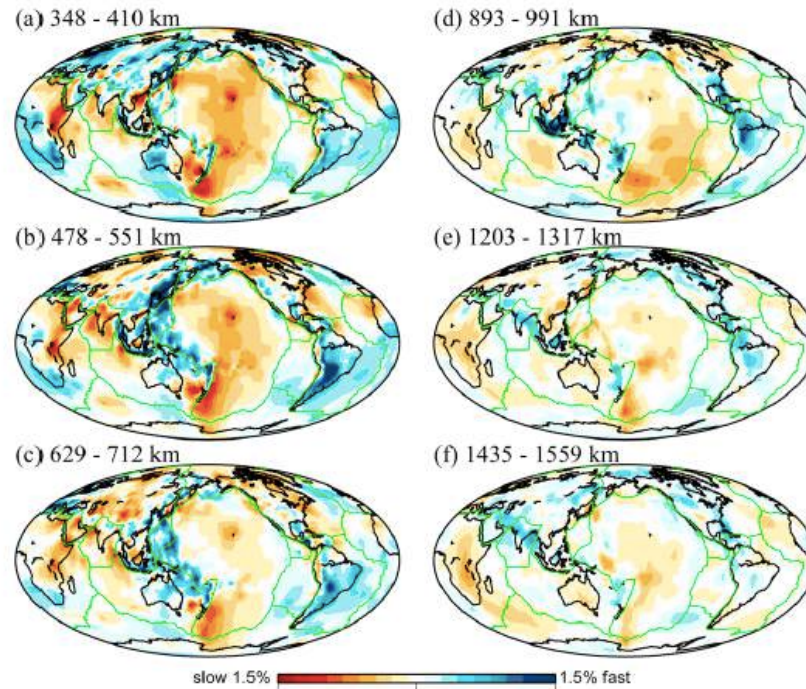
Karason and van der Hilst, 2000

Note - Pour Pdiff: noyaux de sensibilité
"de fréquence finie"



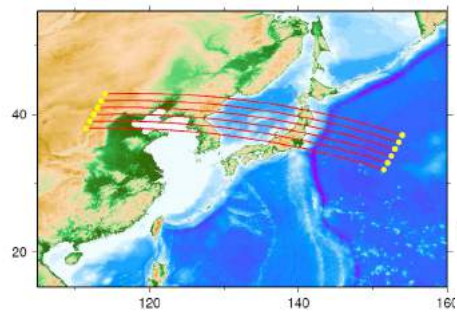
Fukao, 2001

Modèle global GAP_P4

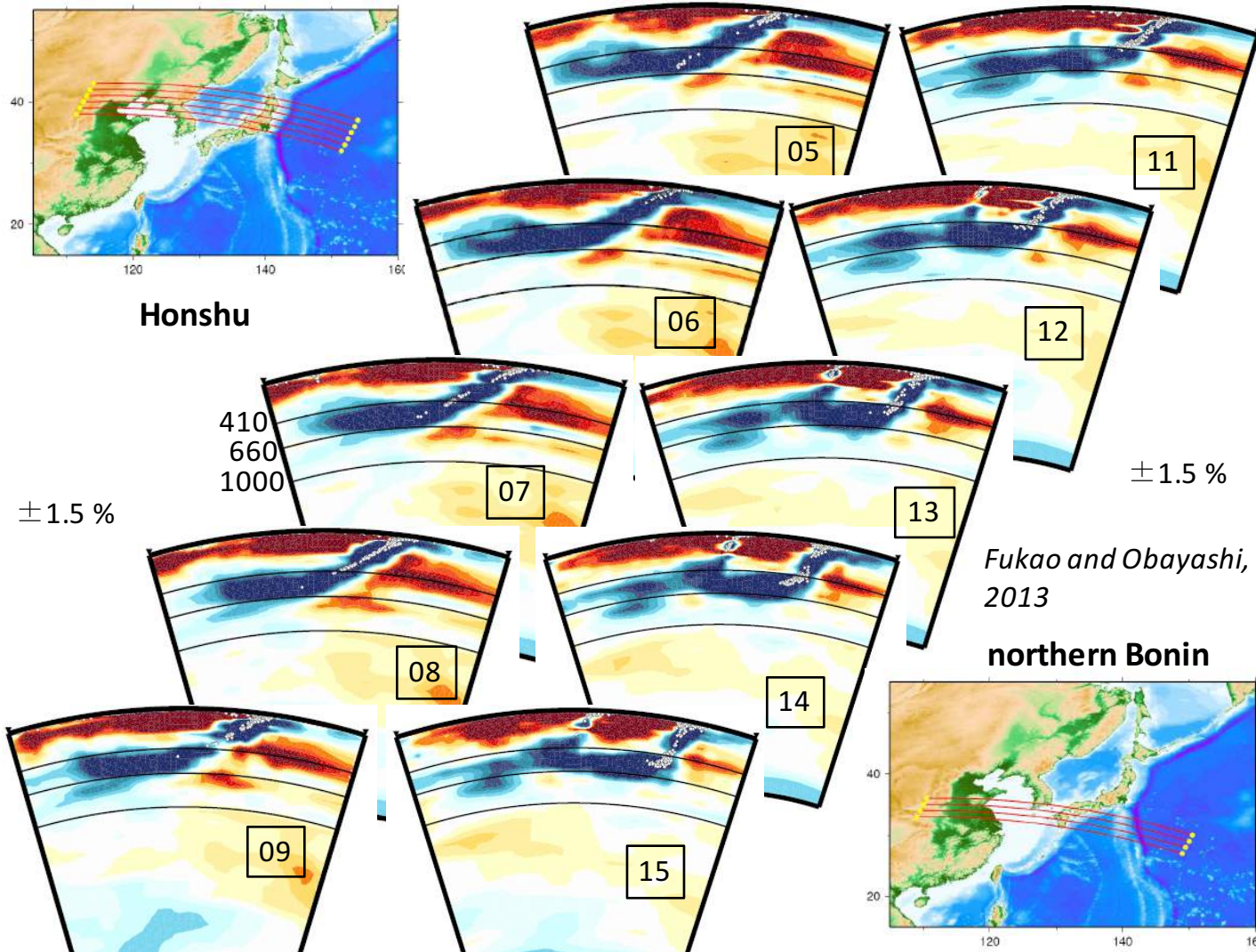


- 11,3 millions de temps de parcours P (ISC 1964-2008)
- 60,000 temps de parcours mesurés manuellement ouest Pacifique
- 15,000 temps différentiels PP-P (stations large bande, cross-correlation)
- 4300 temps différentiels entre stations fond de mer
- Noyaux de sensibilité de "fréquence finie"

Fukao and Obayashi, 2013



Honshu

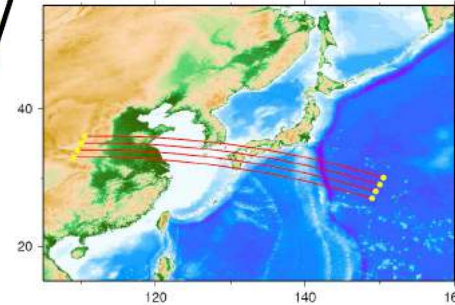


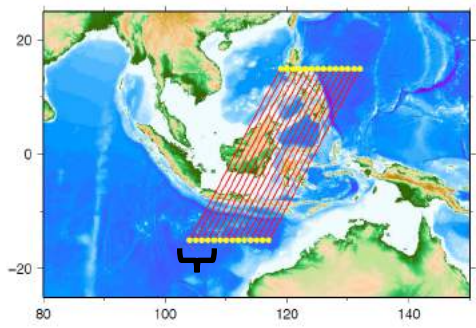
$\pm 1.5\%$

$\pm 1.5\%$

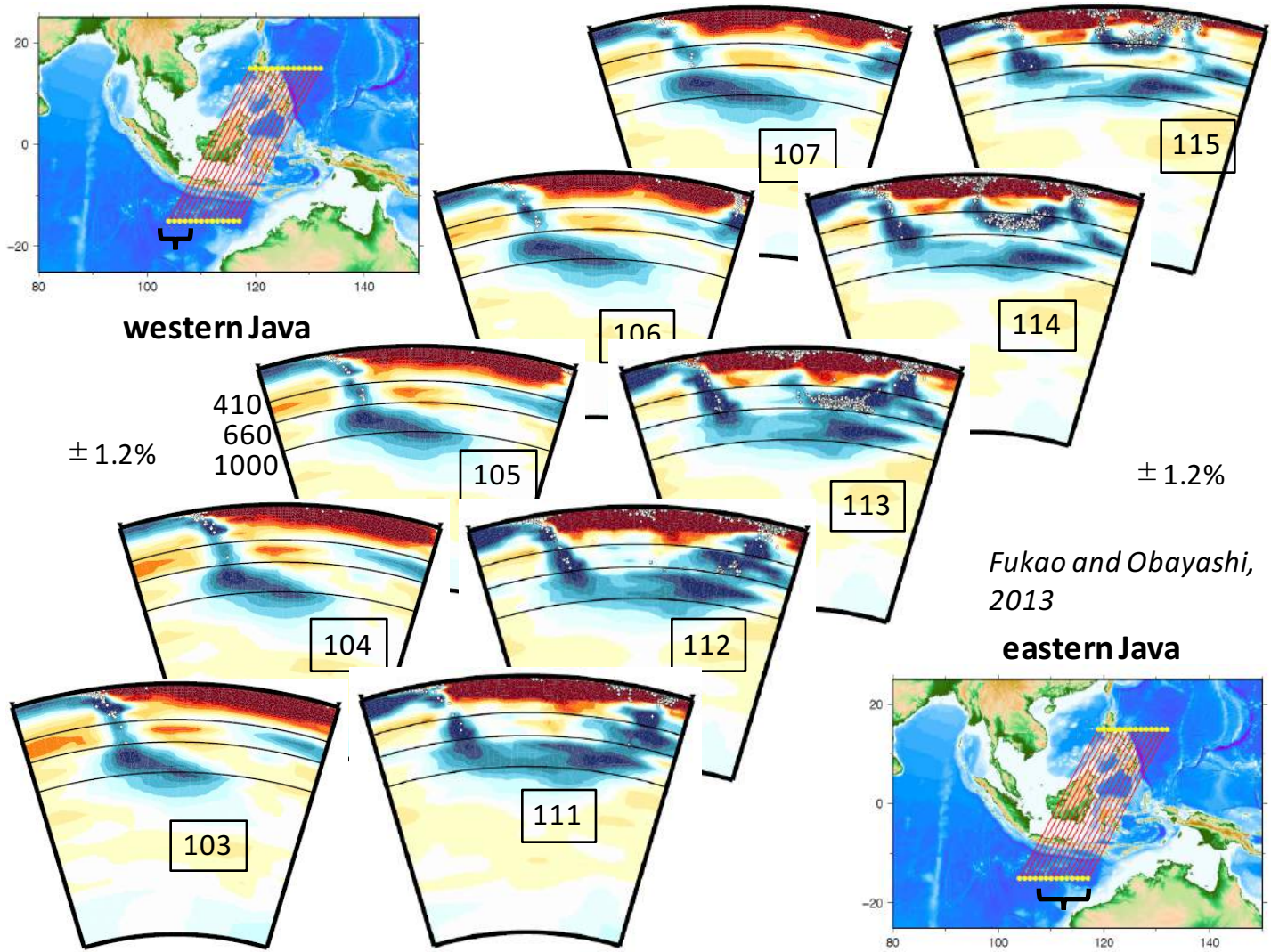
Fukao and Obayashi, 2013

northern Bonin



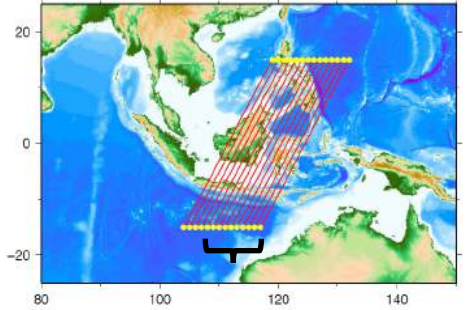


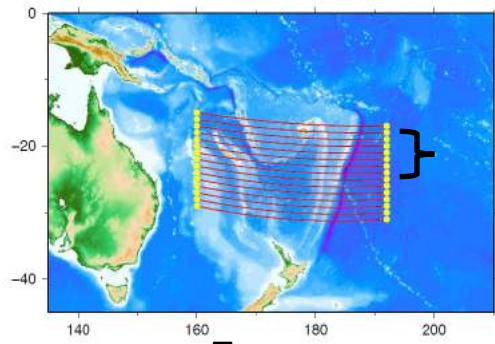
western Java



Fukao and Obayashi, 2013

eastern Java

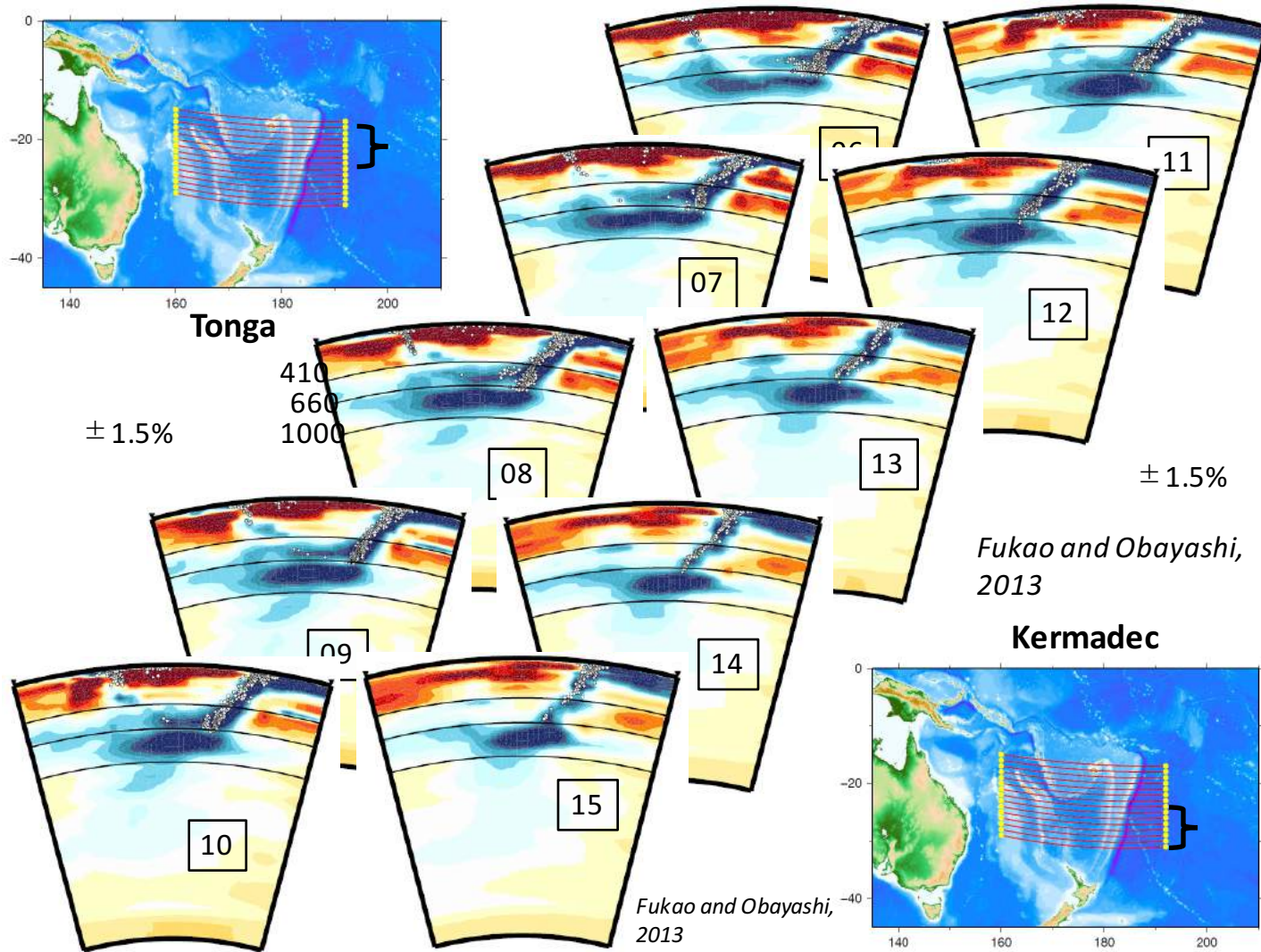




Tonga

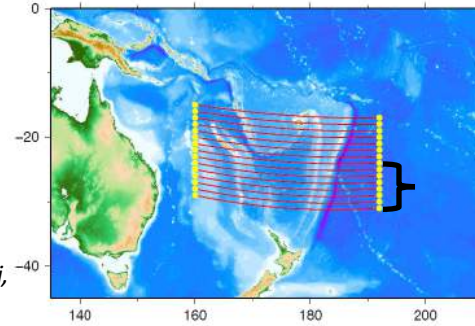
$\pm 1.5\%$

410
660
1000

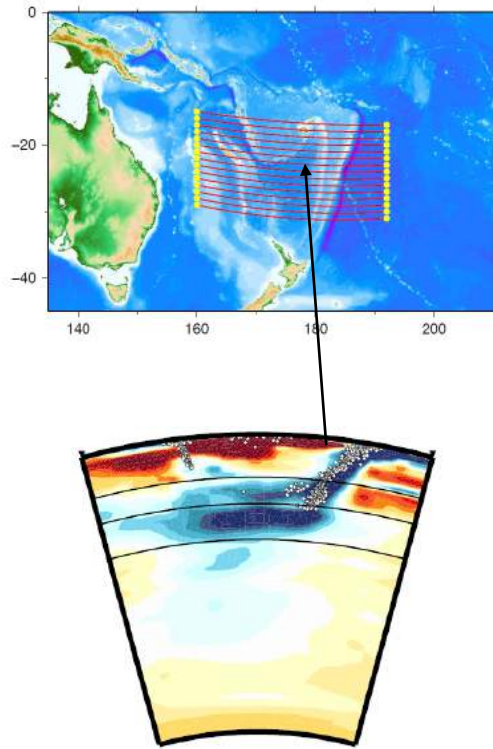


Fukao and Obayashi, 2013

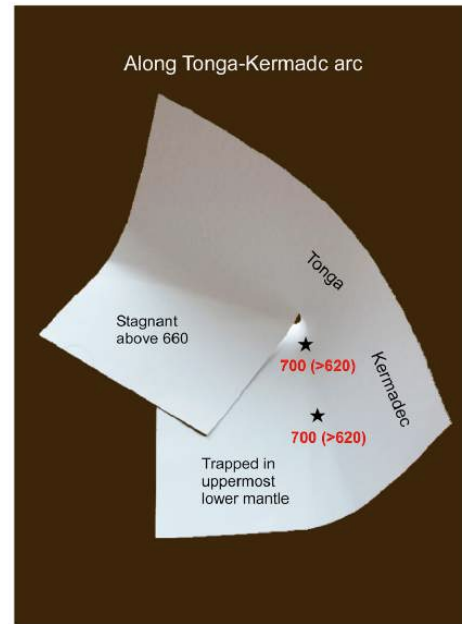
Kermadec



Fukao and Obayashi, 2013



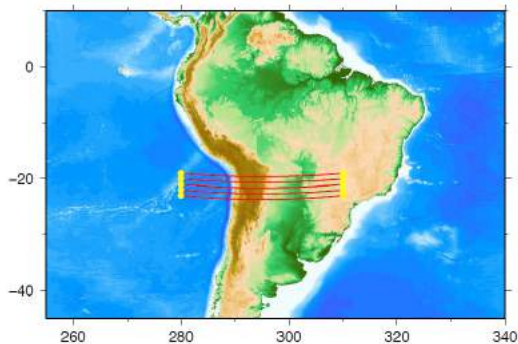
Tonga Kermadec



Le doublement du “slab” est dû à la courbure du slab de Tonga (illustration origami)

★ séismes les plus profonds

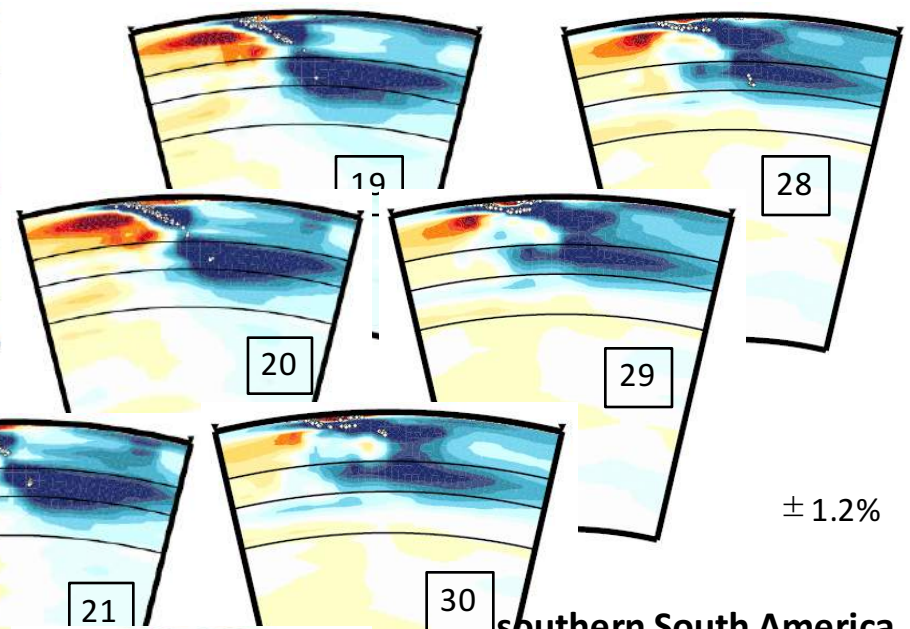
Fukao and Obayashi, 2013



southern South America
(relatively steeply dipping shallow subduction)

$\pm 1.2\%$

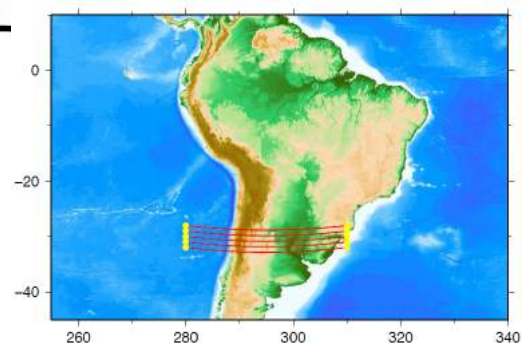
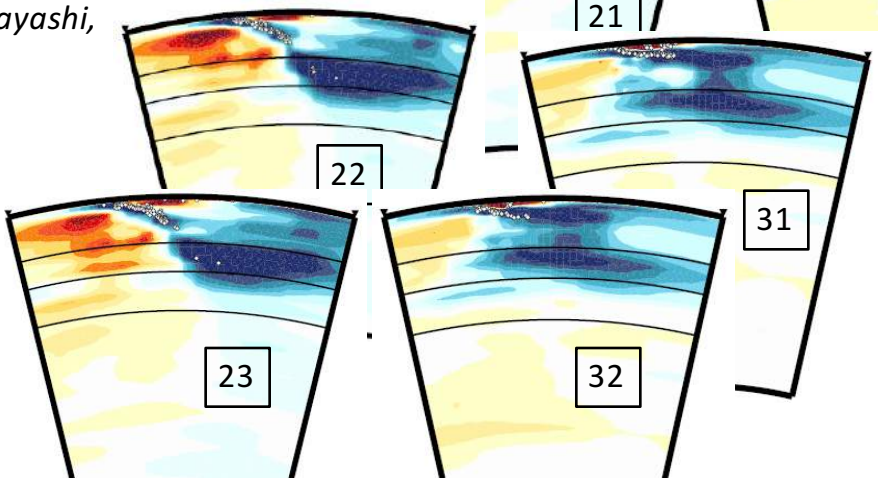
410
660
1000

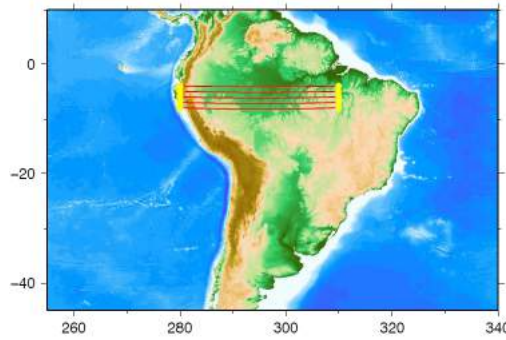


$\pm 1.2\%$

Fukao and Obayashi, 2013

southern South America
(very gently dipping shallow subduction)



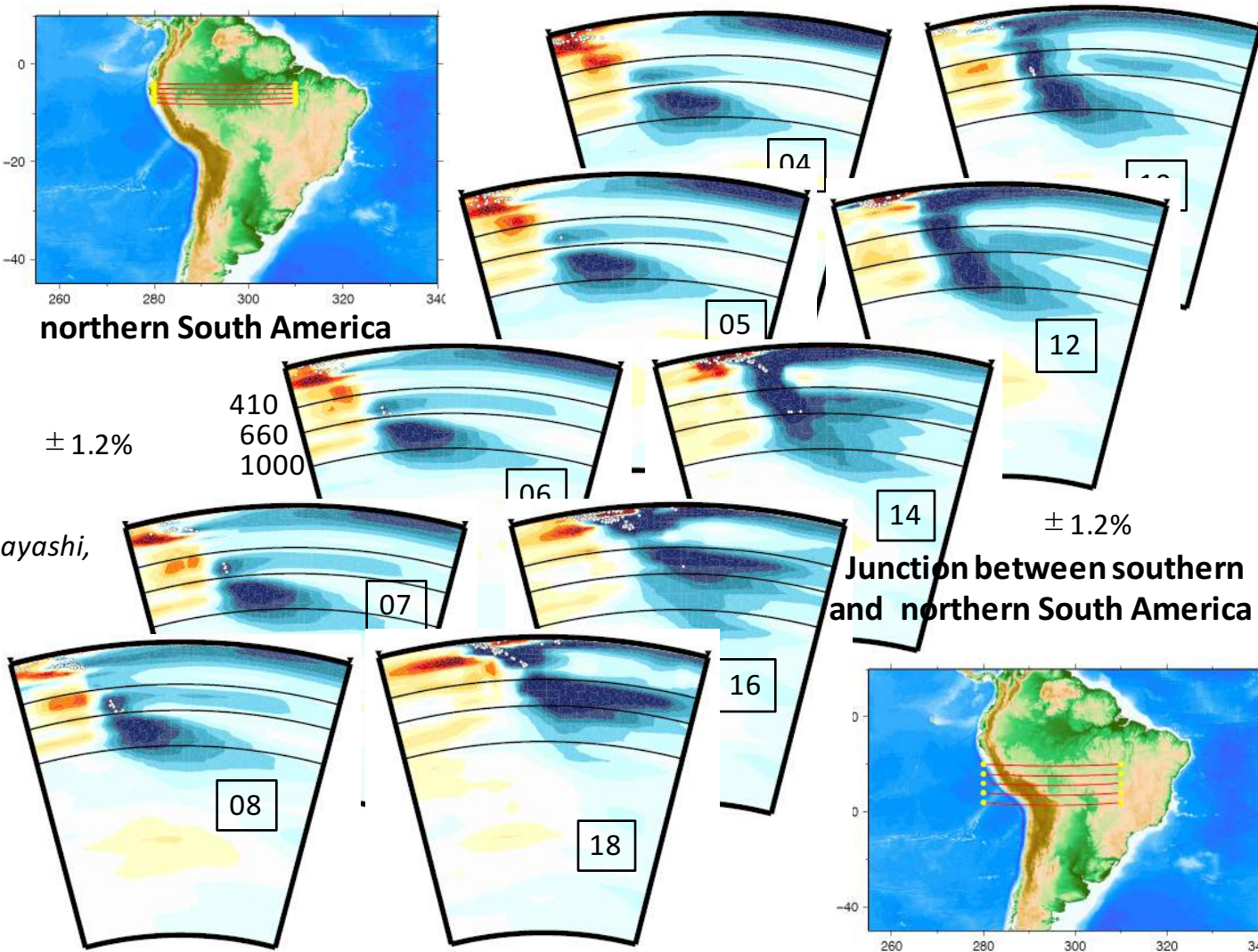


northern South America

$\pm 1.2\%$

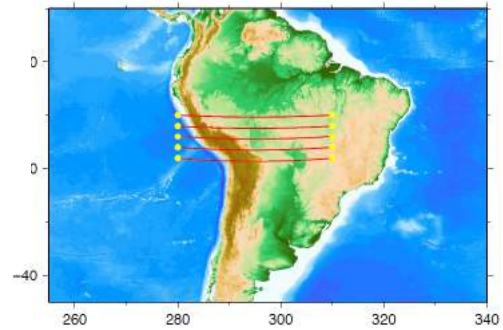
410
660
1000

*Fukao and Obayashi,
2013*

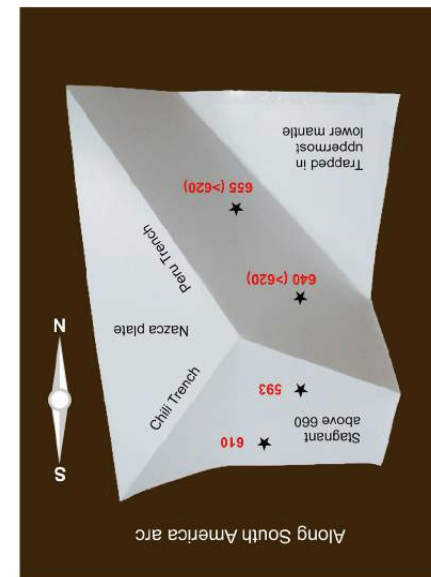
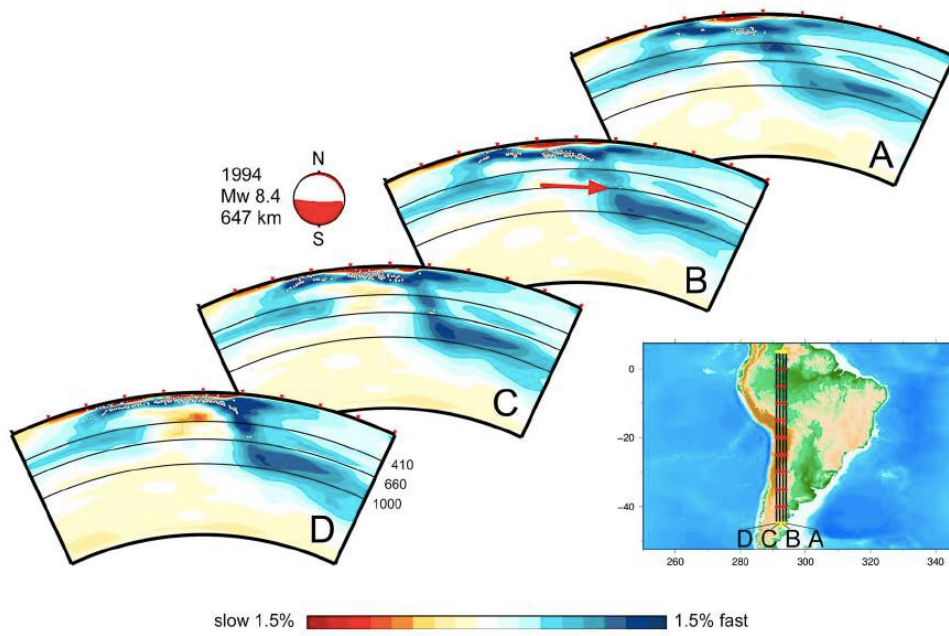


**Junction between southern
and northern South America**

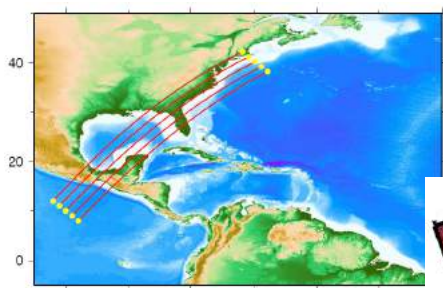
$\pm 1.2\%$



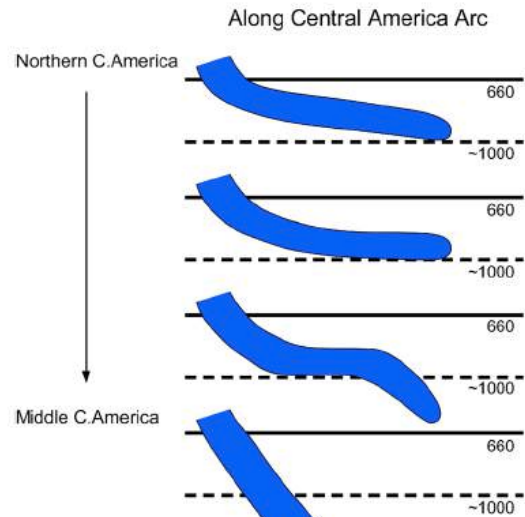
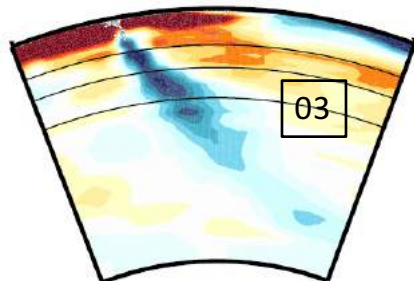
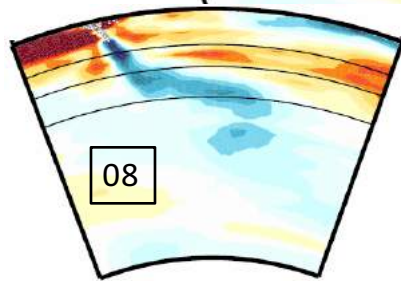
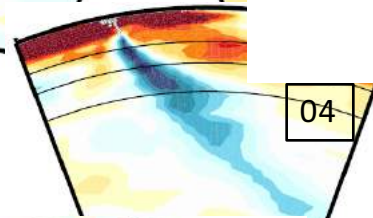
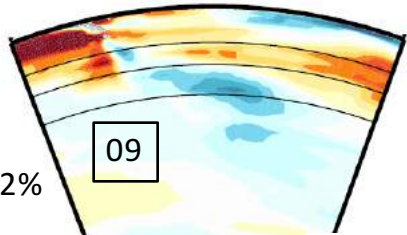
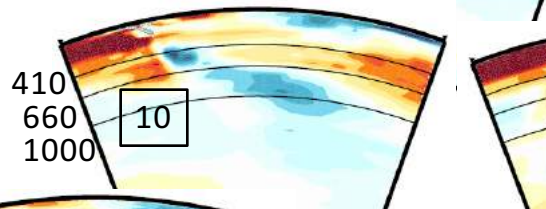
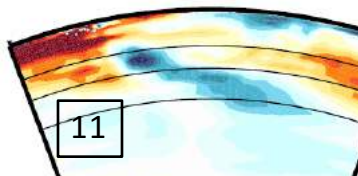
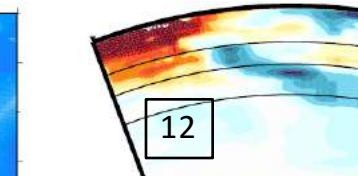
Amérique du Sud



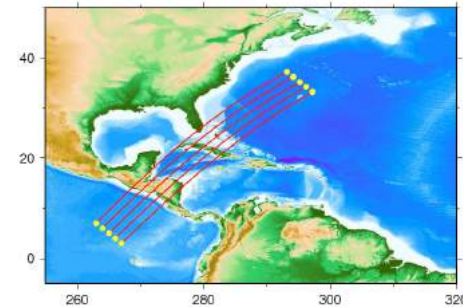
Fukao and Obayashi, 2013



northern Central Ameri



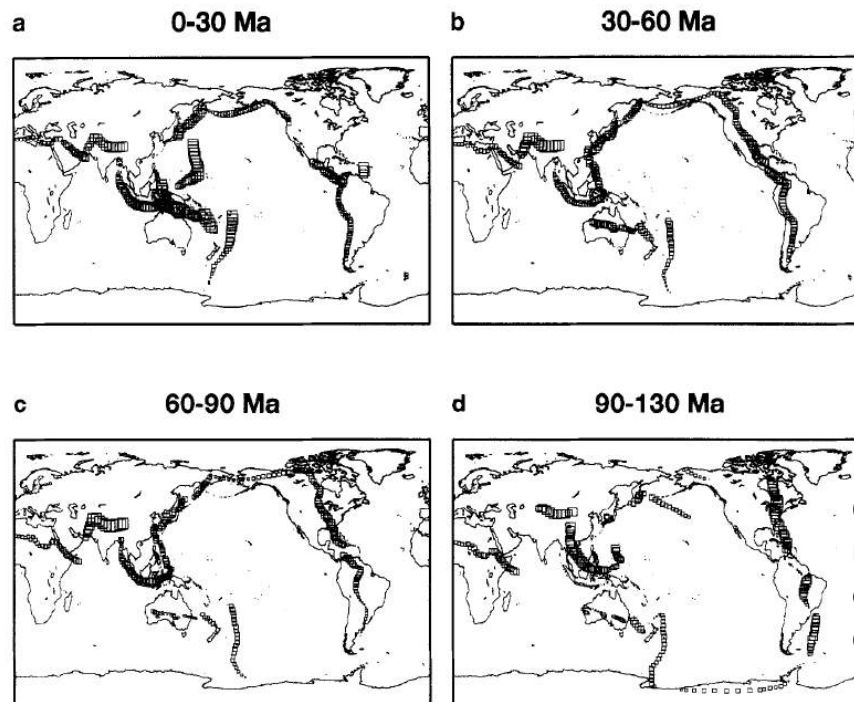
mid Central America



*Fukao and Obayashi,
2013*

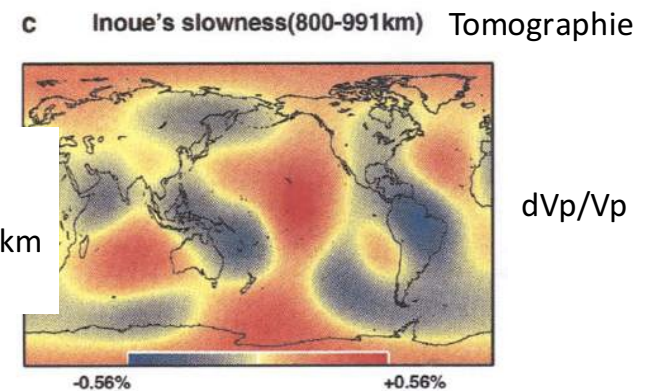
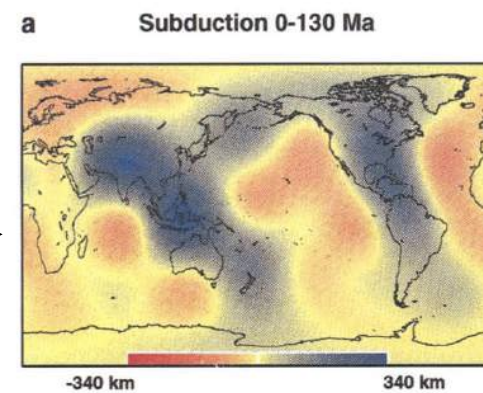
Relation entre les images tomographiques et l'histoire de la subduction

Histoire de la subduction dans le référentiel des points chauds



□ volume de lithosphère engloutie (normalisé) $1-2 \cdot 10^8 \text{ km}^3$

Filtrage au degré 6



Correlation maximale entre 800-1100 km de profondeur

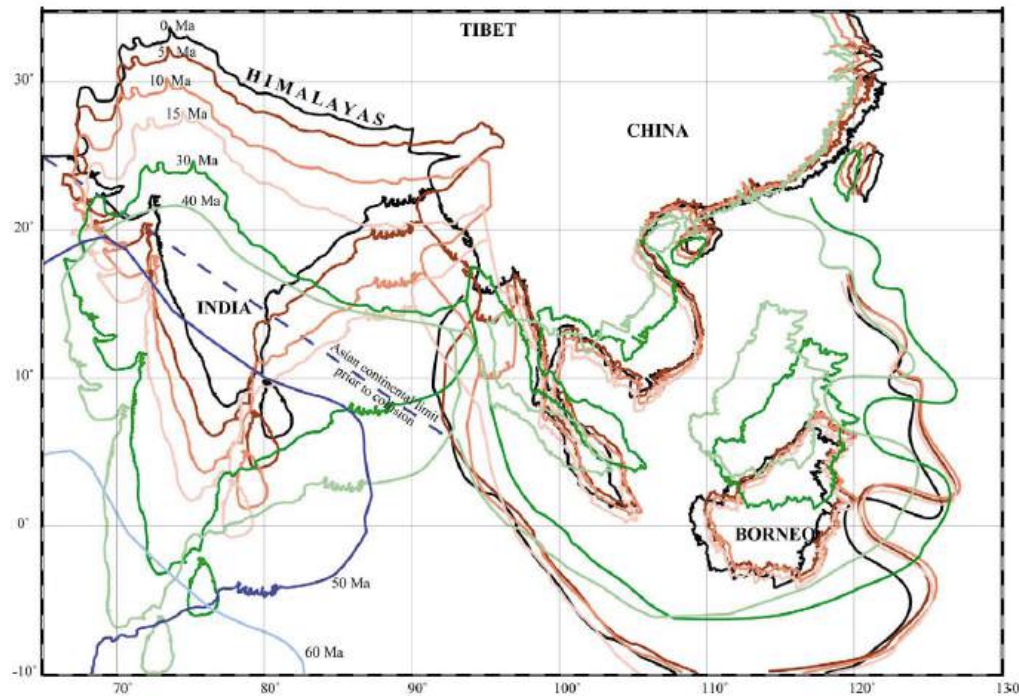
dVp/Vp

Wen and Anderson, 1995

Evolution spatio-temporelle des plaques tectoniques

- On combine les images tomographiques des “slabs” identifiés comme tels avec les reconstructions géologiques pour prolonger dans le passé l’histoire de la subduction.
- Régions de collision continentale, telles la collision Inde/Asie (*eg. Replumaz et al., 2005*)
 - Déformation importante des 2 plaques, raccourcies de plusieurs centaines de kilomètres voir plus
- Déformation représentée par des modèles de blocs lithosphériques cohérents déterminés à partir des traces de failles obtenues par des études sur le terrain et les observations satellitaires (SPOT, LANDSAT)
- Reconstruction des mouvements de blocs par pas de quelques Millions d’années correspondants aux changements majeurs dans le régime de déformation

Position de l'Inde et des blocs du sud-Est de l'Asie depuis 50 Ma

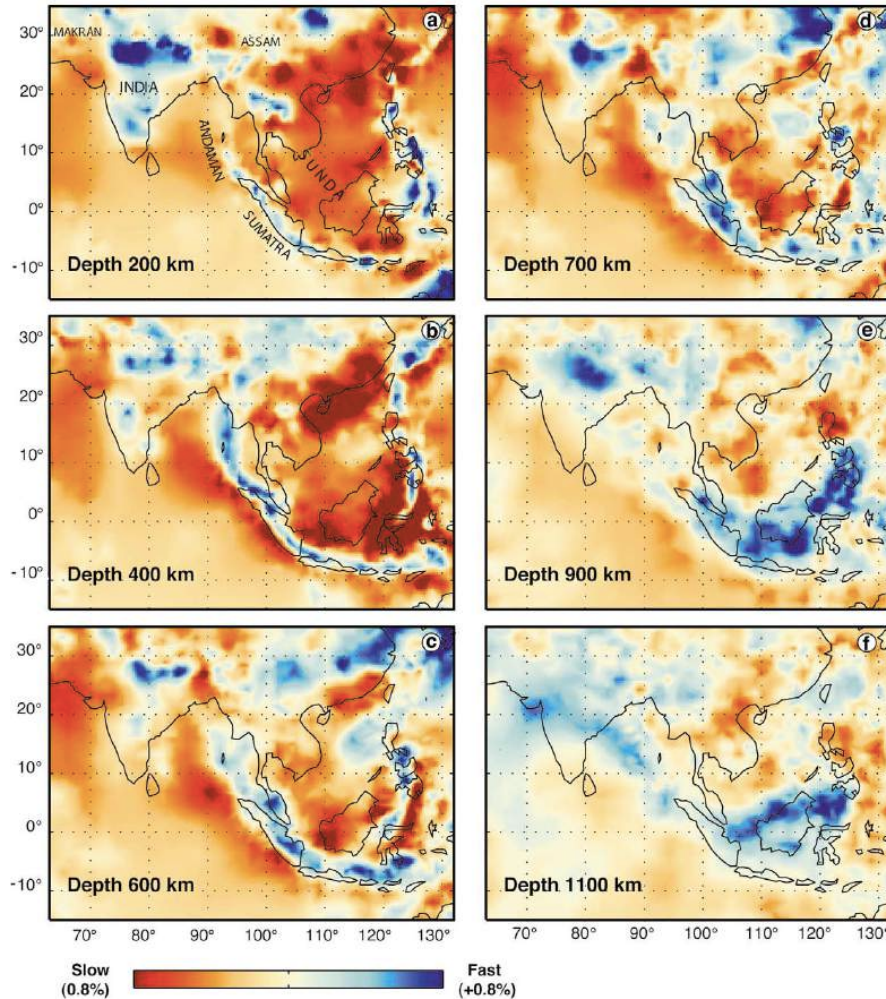


A chaque époque (50-5Ma):

-> Rotation des blocs sans déformation

-> Puis ajustements de la surface des blocs le long de certaines frontières tectoniques de caractéristiques connues

Modèle de Vp , Karason et van der Hilst (2000)

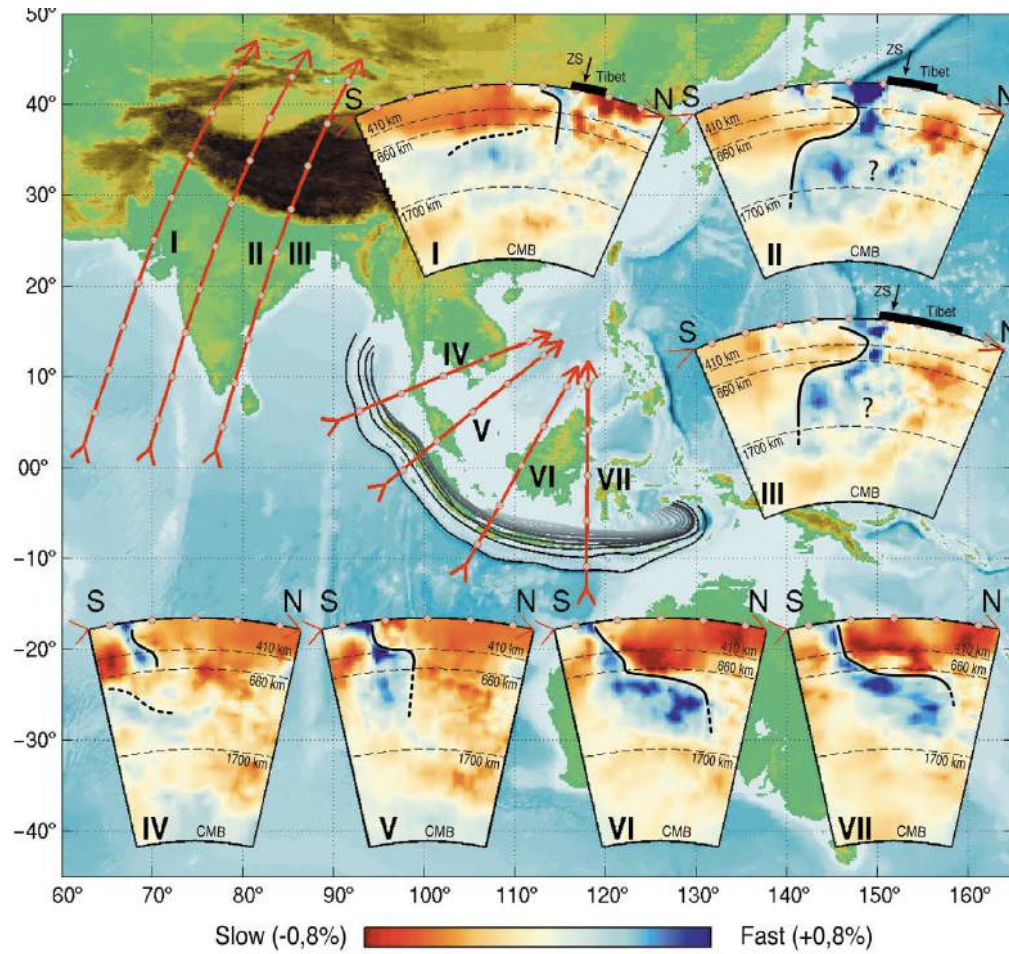


Inversion globale de temps de parcours d'ondes P (8 Millions), pP (~1 Million) et PKP (~1 Million) pour 300,000 séismes de 1964 à 2000 (ISC)

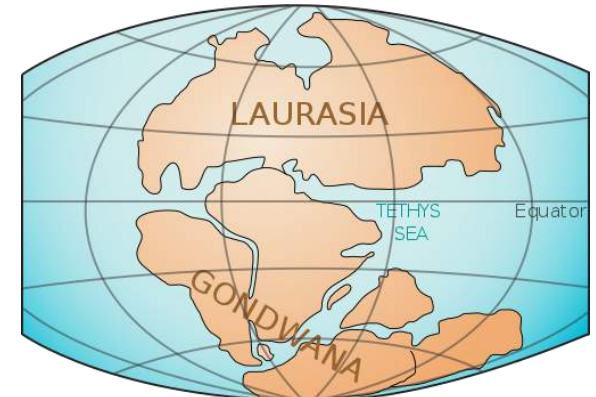
Blocs de taille variable: 0,5° x 0,5° dans les régions de couverture dense

Théorie: "fréquence finie" permettant de rajouter des données de plus longue période (temps différentiels PP-P)

Replumaz et al., EPSL, 2005



Vestiges de la lithosphère océanique de l'océan Thétys



TRIASSIC
200 million years ago

Replumaz et al., EPSL, 2005